

## บทที่ 4

### ผลการทดลองและการวิจารณ์ผล

#### 4.1 พารามิเตอร์জননপলাস্কর্কক্ষণনাংসীয়া

##### 4.1.1 การเริ่มต้นเลี้ยงจุลชีพ

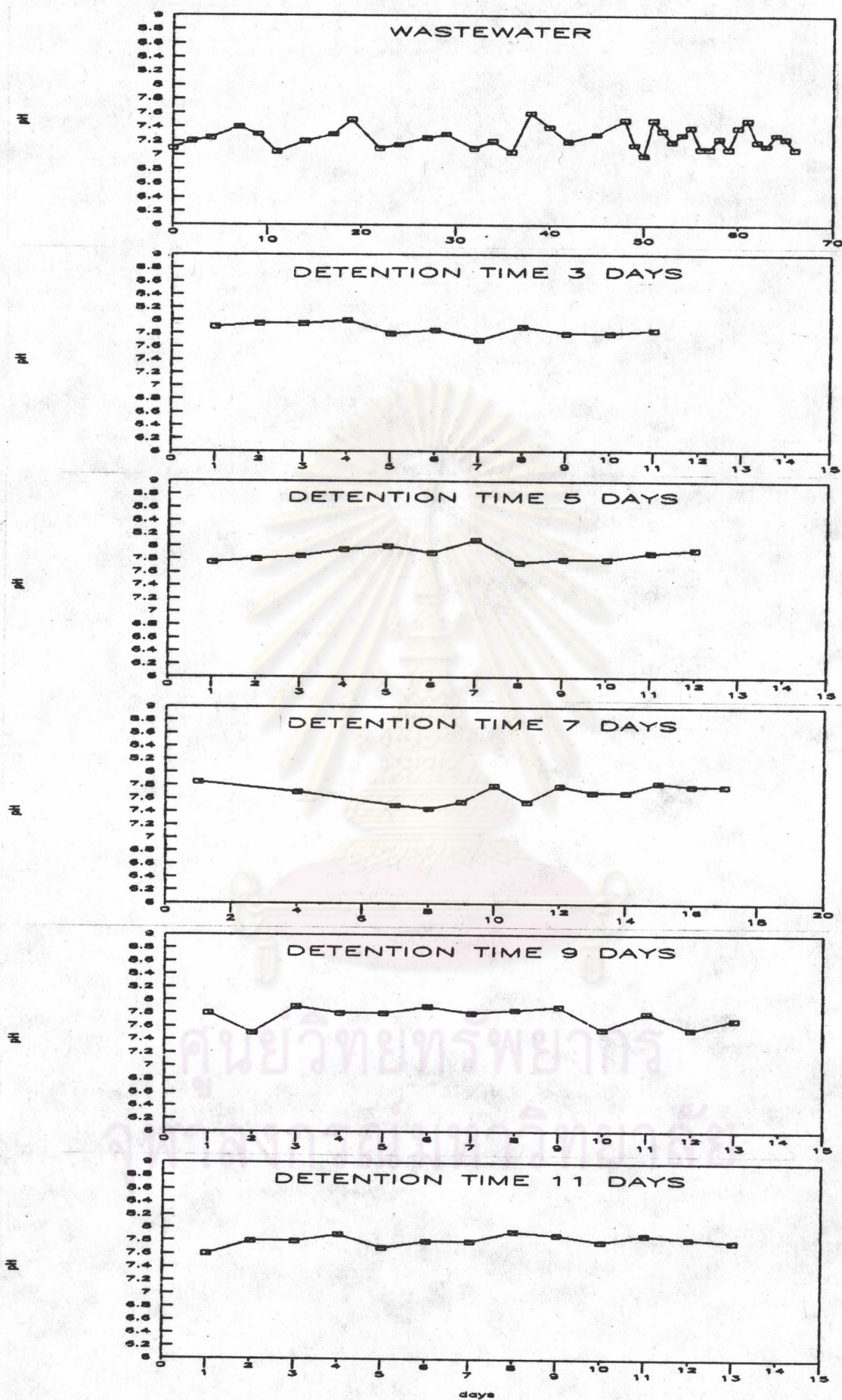
น้ำหัวเชื้อตะกอน (seed) ที่นำมาจากระบบบำบัดน้ำเสียชุมชน ห้วยขวาง ความเข้มข้นประมาณ 8,000 มก./ล. เติมน้ำไปนบ่อเติมอากาศ 5 บ่อ ที่มีปริมาตร 15, 25, 35, 45 และ 55 ลิตร ด้วยปริมาณ 1.5, 2.5, 3.5, 4.5 และ 5.5 ลิตร ตามลำดับ แล้วจึงเติมน้ำเสียลงไปในบ่อเติมอากาศด้วยปริมาณ 1.5, 2.5, 3.5, 4.5 และ 5.5 ลิตร ตามลำดับ เติมน้ำเสียในปริมาณดังกล่าวทุกวันจนเต็มบ่อเติมอากาศ หลังจากนั้น จึงเริ่มบ่มน้ำเสียแบบต่อเนื่องด้วยเครื่องสูบน้ำเสียแบบรีดสาย โดยใช้อัตราการบ่มน้ำเสีย 5 ลิตรต่อวัน และเก็บข้อมูลอย่างต่อเนื่อง รวมเป็นระยะเวลาทั้งสิ้น 67 วัน น้ำเสียที่นำมาทำการทดลองจะเจือจางด้วยน้ำประปา ให้มีความเข้มข้นของชีโอดีทั้งหมดประมาณ 1,000 มก./ล เนื่องจากน้ำเสียที่เข้าทดลอง นำมาจากนิคมอุตสาหกรรมบางปู มีค่าชีโอดีและตะกอนแขวนลอยแปรปรวนมาก จึงจำเป็นต้องควบคุมค่าชีโอดีทั้งหมดของน้ำเสีย ให้เท่ากันตลอดการทดลองของการทดลองชุดนี้ น้ำเสียที่เข้าทดลองมีค่าพีเอชเฉลี่ยเท่ากับ 6.2 (อยู่ในช่วง 5.4-7.1) ค่าชีโอดีทั้งหมดเฉลี่ยเท่ากับ 2600 มก./ล (อยู่ในช่วง 1800-4200 มก./ล) ค่าชีโอดีกรองเฉลี่ยเท่ากับ 1950 มก./ล (อยู่ในช่วง 1500-3400 มก./ล) ค่าความเข้มข้นตะกอนแขวนลอยเฉลี่ยเท่ากับ 300 มก./ล (อยู่ในช่วง 190-360 มก./ล)



#### 4.1.2 พีเอช

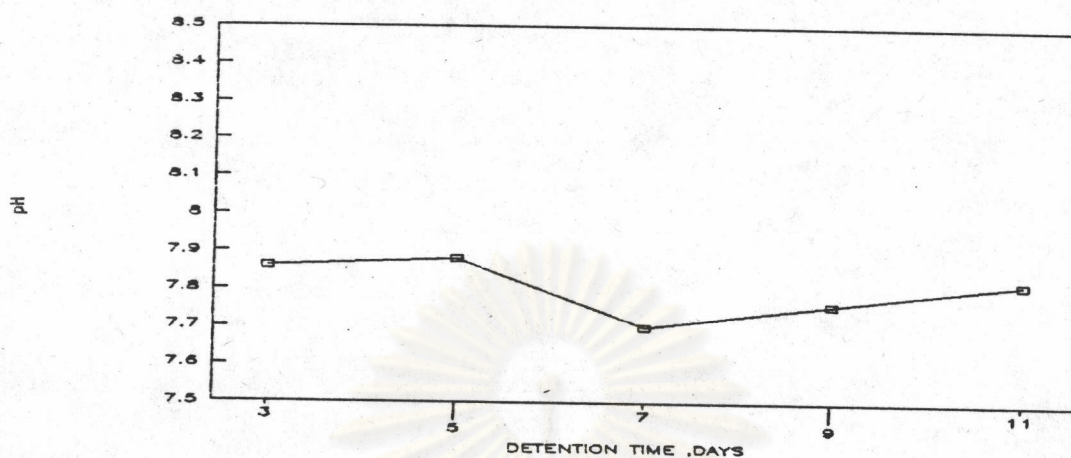
การวัดค่าพีเอชของน้ำเสียที่เข้าสู่ระบบ ทาทันทีหลังจากที่เตรียมน้ำเสียเสร็จ ค่าพีเอชของน้ำเสียที่บ่อนเข้าสู่ระบบอยู่ในช่วง 7.0-7.6 มีค่าเฉลี่ยเท่ากับ 7.25 ซึ่งเป็นผลมาจากการปรับพีเอชของน้ำเสียจริงด้วยปูนขาว จนมีค่าพีเอชใกล้เคียง 7.0 ส่วนการวัดค่าพีเอชของน้ำในบ่อเติมอากาศแต่ละใบ ทาทันทีที่เก็บตัวอย่างน้ำมาจากบ่อเติมอากาศ รูปที่ 4.1 แสดงระดับของพีเอชของน้ำเสียที่บ่อนเข้าสู่ระบบ และของน้ำในบ่อเติมอากาศแต่ละใบในช่วงสภาวะคงที่ และรูปที่ 4.2 แสดงการเปรียบเทียบค่าพีเอชเฉลี่ยในช่วงสภาวะคงที่ ของน้ำในบ่อเติมอากาศแต่ละใบ ซึ่งจากรูปที่ 4.2 พบว่าค่าพีเอชของน้ำในบ่อเติมอากาศแต่ละใบมีค่าใกล้เคียงกัน โดยค่าพีเอชเฉลี่ยของบ่อเติมอากาศที่มีระยะเวลาพักน้ำ 3 วันมีค่าเท่ากับ 7.86 ค่าพีเอชเฉลี่ยของบ่อเติมอากาศที่มีระยะเวลาพักน้ำ 5 วัน มีค่าเท่ากับ 7.88 ค่าพีเอชเฉลี่ยของบ่อเติมอากาศที่มีระยะเวลาพักน้ำ 7 วันมีค่าเท่ากับ 7.70 ค่าพีเอชเฉลี่ยของบ่อเติมอากาศที่มีระยะเวลาพักน้ำ 9 วัน มีค่าเท่ากับ 7.76 และค่าพีเอชเฉลี่ยของบ่อเติมอากาศที่มีระยะเวลาพักน้ำ 11 วันมีค่าเท่ากับ 7.82





รูปที่ 4.1 แสดงการเปลี่ยนแปลงระดับพีเอชของน้ำเสียที่ป้อนเข้าสู่ระบบ และระดับพีเอชในบ่อเติมอากาศแต่ละใบในช่วงสภาวะคงที่ในการทดลองชุดที่ 1

AVERAGE pH in EACH REACTOR



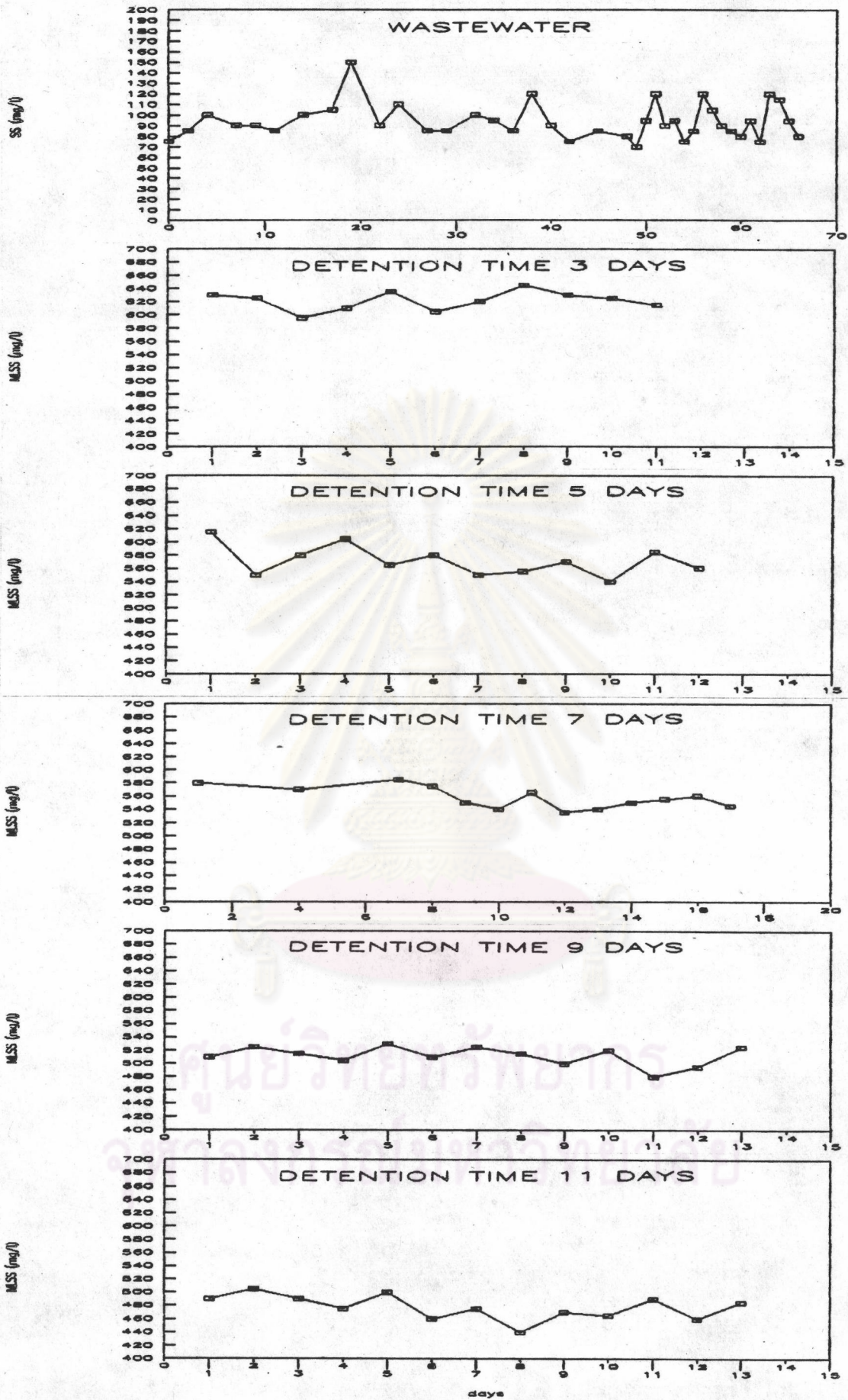
รูปที่ 4.2 แสดงการเปรียบเทียบค่าพีเอชเฉลี่ยในบ่อเติมอากาศแต่ละใบในช่วงสภาวะคงที่

ค่าพีเอชในบ่อเติมอากาศแต่ละใบมีค่าไม่เปลี่ยนแปลงมากนัก อาจเนื่องมาจากผลของเติมอาหารเสริมที่แก่แบคทีเรียในรูปของยูเรีย และโปตัสเซียมไฮดรอกไซด์ฟอสเฟต ซึ่งมีผลในการเพิ่มพีเอชให้กับระบบ

#### 4.1.3 ตะกอนแขวนลอย

รูปที่ 4.3 แสดงการเปลี่ยนแปลงของปริมาณตะกอนแขวนลอยของน้ำเสียที่บ่อน้ำเข้าสู่ระบบและในบ่อเติมอากาศแต่ละใบ ในช่วงสภาวะคงที่

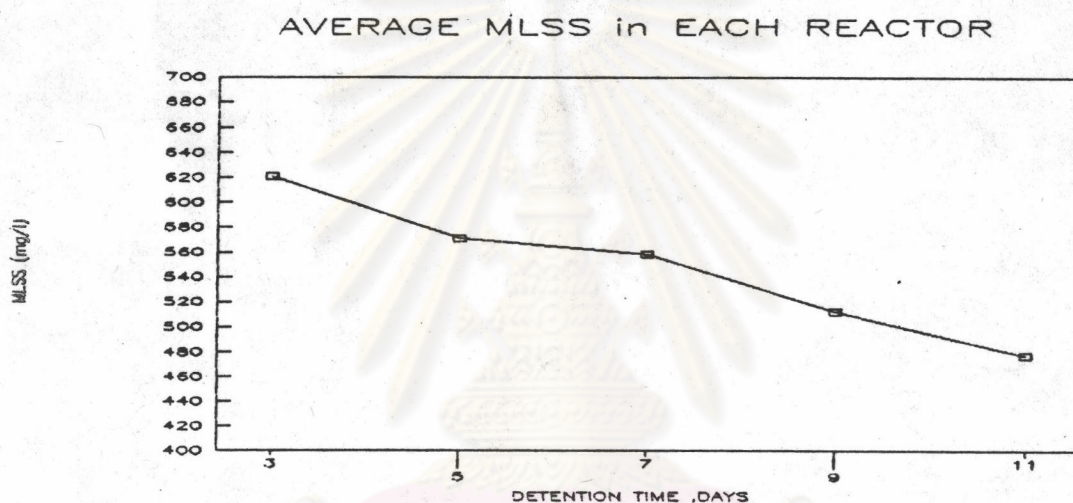




รูปที่ 4.3 แสดงการเปลี่ยนแปลงปริมาณตะกอนแขวนลอยของน้ำเสียที่บ่อนเข้าสู่ระบบ และในบ่อเติมอากาศแต่ละใบในช่วงสภาวะคงที่ ในการทดลองชุดที่ 1



รูปที่ 4.4 แสดงการเปรียบเทียบปริมาณตะกอนแขวนลอยเฉลี่ยในช่วงสภาวะคงที่ของบ่อเติมอากาศแต่ละใบ ซึ่งจากรูปพบว่า ความเข้มข้นของตะกอนแขวนลอยเฉลี่ยในบ่อเติมอากาศแต่ละใบที่สภาวะคงที่ ของบ่อเติมอากาศที่มีระยะเวลาพักน้ำ 3, 5, 7, 9 และ 11 วัน จะมีค่าความเข้มข้นของตะกอนแขวนลอยเฉลี่ยเท่ากับ 621, 571, 558, 512 และ 477 มก./ล ตามลำดับ



รูปที่ 4.4 แสดงการเปรียบเทียบปริมาณตะกอนแขวนลอยเฉลี่ยในช่วงสภาวะคงที่ของบ่อเติมอากาศแต่ละใบ

ค่าความเข้มข้นของตะกอนแขวนลอยในบ่อเติมอากาศที่มีระยะเวลาพักน้ำ 3 วัน มีค่าสูงสุดและลดลงตามลำดับเมื่อระยะเวลาพักน้ำเพิ่มมากขึ้น โดยที่ปริมาณสารอินทรีย์ที่เข้าสู่ระบบต่อปริมาตรบ่อเติมอากาศ (Volumetric Organics Loading) ของบ่อเติมอากาศที่มีระยะเวลาพักน้ำ 3, 5, 7, 9 และ 11 วัน มีค่าเท่ากับ 0.033, 0.02, 0.015, 0.01 และ 0.009 กก./ม.<sup>3</sup>-วัน ทว่าที่แบคทีเรียในบ่อเติมอากาศที่มีระยะเวลาพักน้ำ 3 วันได้รับสารอาหารมากกว่าและเกิดการเจริญเติบโตของแบคทีเรียมากขึ้นด้วย



#### 4.1.4 ซีโอดีและประสิทธิภาพการกำจัด

ซีโอดีเป็นพารามิเตอร์ที่สำคัญในการทดลองตัวหนึ่ง เนื่องจากค่าซีโอดีจะแสดงให้เห็นถึงการลดหล่นของสารอาหารที่เกิดขึ้นในระบบ และบอกถึงประสิทธิภาพการทํานานของระบบบำบัดน้ำเสียในการกำจัดสารอินทรีย์ที่อยู่ในน้ำเสีย

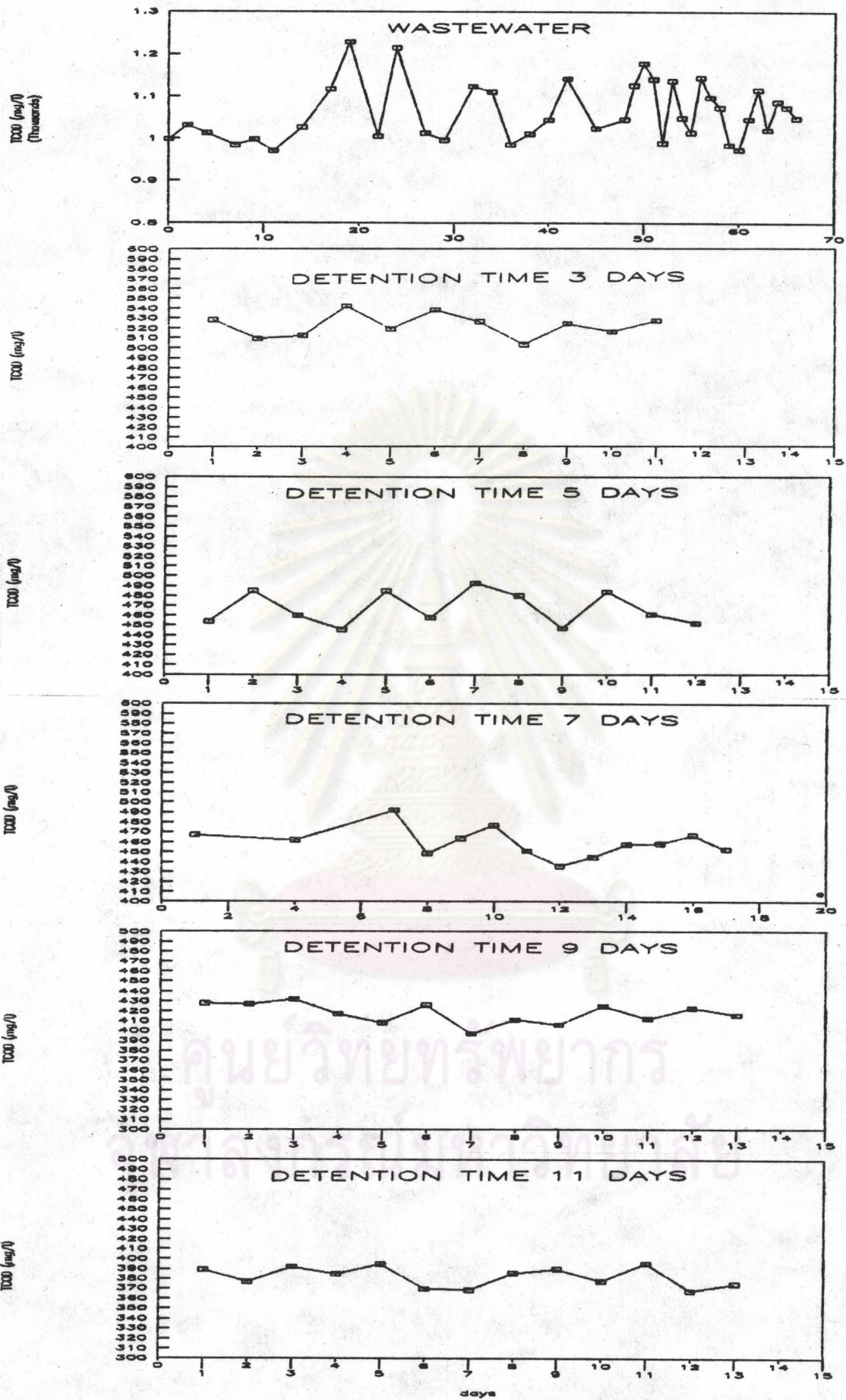
รูปที่ 4.5 แสดงถึงการเปลี่ยนแปลงปริมาณซีโอดีทั้งหมดของน้ำเสียที่นำมาทดลองหลังจากเจือจางแล้ว และปริมาณซีโอดีทั้งหมดในบ่อเติมอากาศแต่ละใบ ในช่วงสภาวะคงที่

รูปที่ 4.6 แสดงถึงการเปลี่ยนแปลงปริมาณซีโอดีกรองของน้ำเสียที่นำมาทดลองหลังจากเจือจางแล้วและปริมาณซีโอดีกรองในบ่อเติมอากาศแต่ละใบ

ผลการทดลองพบว่า เมื่อระบบเข้าสู่สภาวะคงที่ ค่าเฉลี่ยซีโอดีของน้ำเสียที่นำมาทำการทดลอง มีค่าซีโอดีทั้งหมดเฉลี่ยเท่ากับ 1061 มก./ล และค่าซีโอดีกรองเฉลี่ยเท่ากับ 836 มก./ล ส่วนค่าซีโอดีในบ่อเติมอากาศที่มีระยะเวลาพักน้ำ 3, 5, 7, 9 และ 11 วัน มีค่าเฉลี่ยในช่วงสภาวะคงที่เท่ากับ 522, 467, 460, 418 และ 382 มก./ล ตามลำดับ ในรูปของซีโอดีทั้งหมด (ดังแสดงในรูปที่ 4.7) และมีค่าเฉลี่ยของซีโอดีกรองในช่วงสภาวะคงที่เท่ากับ 98, 73, 67, 58 และ 54 มก./ล ตามลำดับ (ดังแสดงในรูปที่ 4.8) ซึ่งเมื่อนำมาคำนวณประสิทธิภาพการกำจัดซีโอดีของบ่อเติมอากาศแต่ละใบจะเท่ากับ 88, 91, 92, 93 และ 94 % ตามลำดับ (ดังแสดงในรูปที่ 4.9)

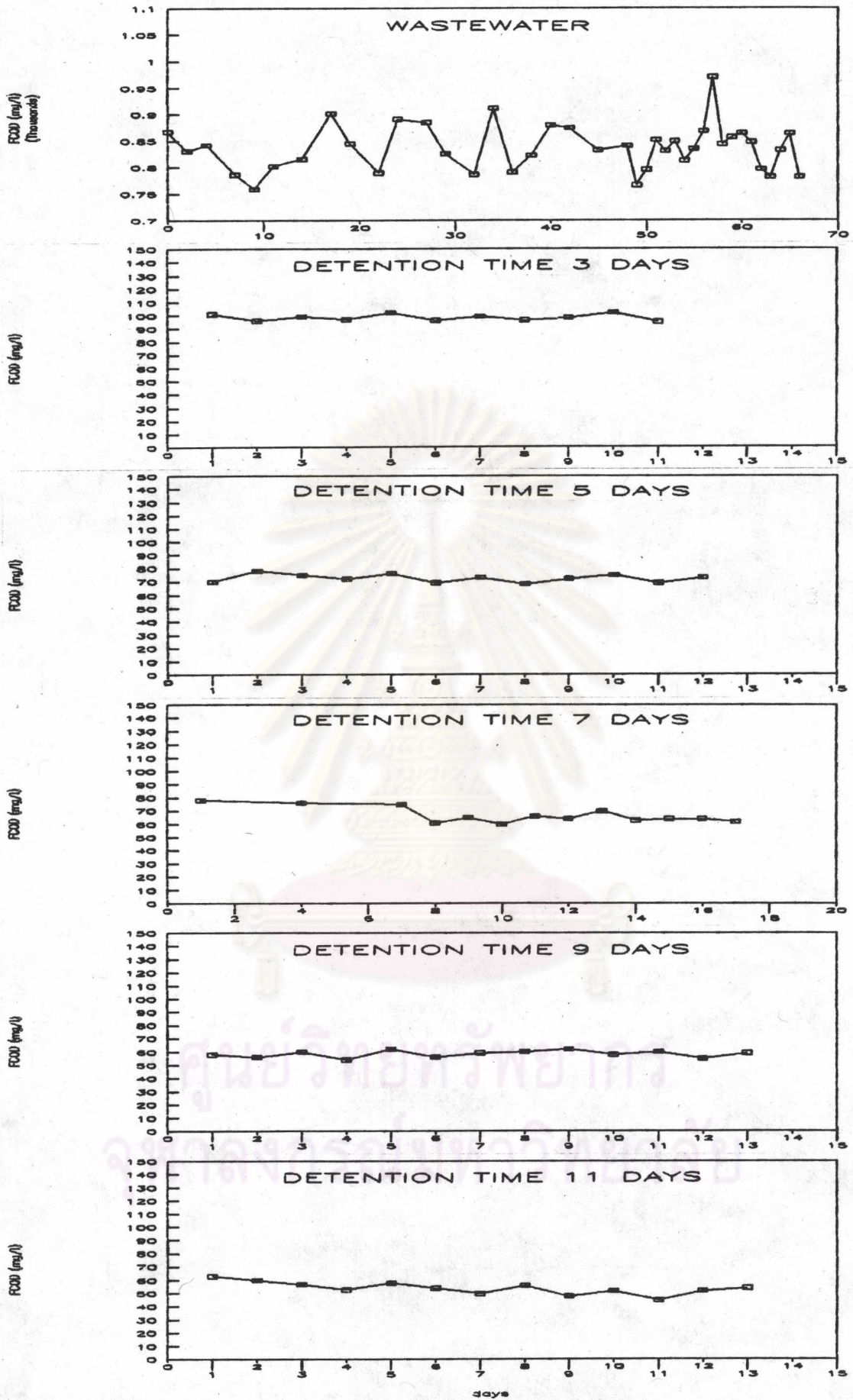
จากผลการทดลองข้างต้นพบว่าประสิทธิภาพการกำจัดซีโอดีเพิ่มขึ้นเมื่อระยะเวลาพักน้ำเพิ่มขึ้น แต่ไม่สูงมากนัก อาจเนื่องจากสารอาหารที่เหลือเป็นสารอาหารที่ย่อยสลายได้ยากหรือไม่สามารถย่อยสลายได้ ทำให้ประสิทธิภาพการกำจัดซีโอดีจึงเพิ่มขึ้นเพียงเล็กน้อย





รูปที่ 4.5 แสดงการเปลี่ยนแปลงปริมาณซีโอดี้ทั้งหมดของน้ำเสียที่ป้อนเข้าสู่ระบบและในบ่อเติมอากาศแต่ละใบในช่วงสภาวะคงที่ ในการทดลองชุดที่ 1

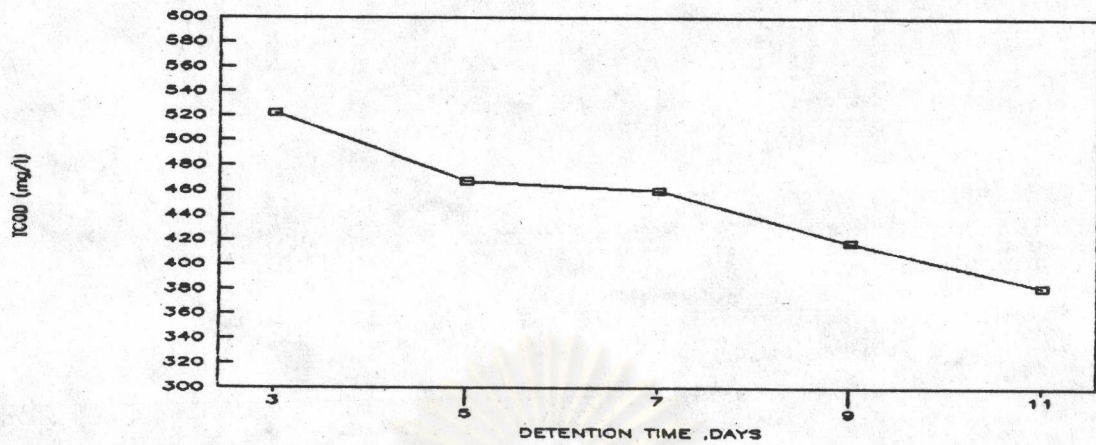




รูปที่ 4.6 แสดงการเปลี่ยนแปลงปริมาณซีโอดีกรองของน้ำเสียที่บ่อนเข้าสู่ระบบ และในบ่อเติมอากาศแต่ละใบในช่วงสภาวะคงที่ ในการทดลองชุดที่ 1

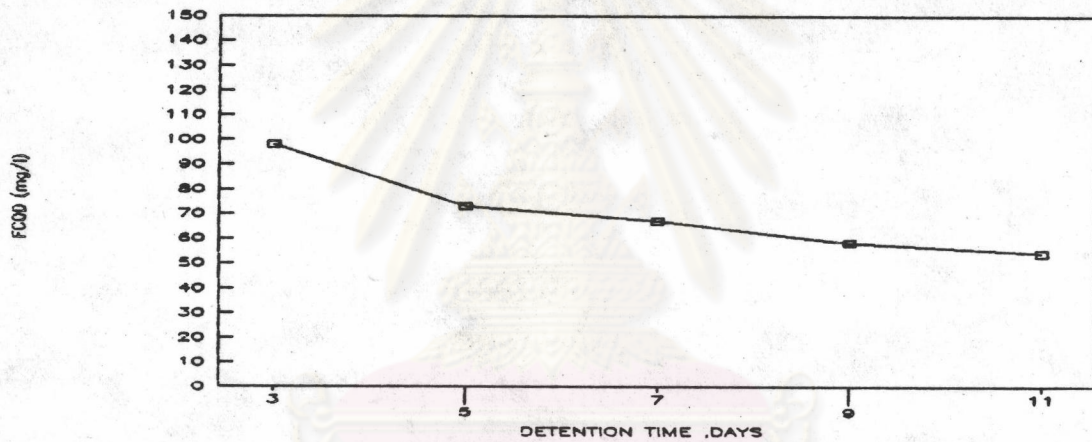


## AVERAGE TCOD in EACH REACTOR



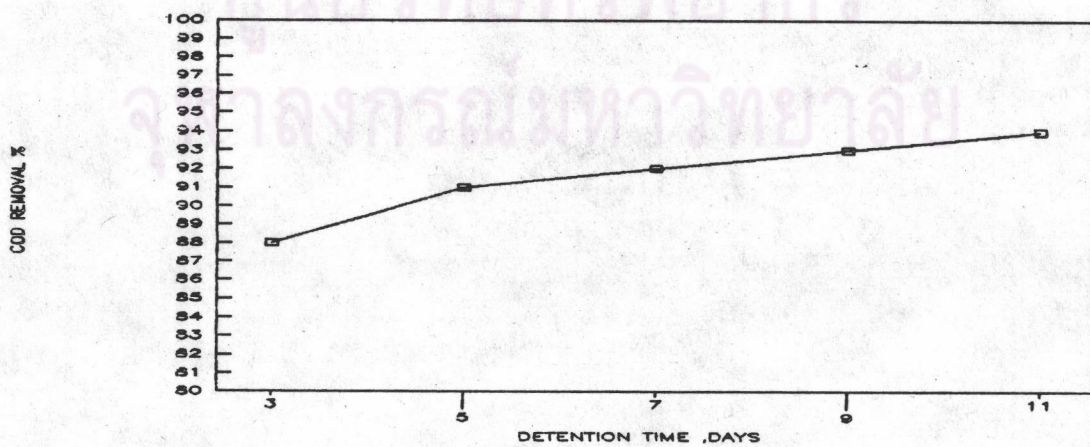
รูปที่ 4.7 แสดงการเปรียบเทียบปริมาณซีโอดีทั้งหมดเฉลี่ยในช่วงสภาวะคงที่ของบ่อเติมอากาศแต่ละใบ

## AVERAGE FCOD in EACH REACTOR



รูปที่ 4.8 แสดงการเปรียบเทียบปริมาณซีโอดีกรองเฉลี่ยในช่วงสภาวะคงที่ของบ่อเติมอากาศแต่ละใบ

## COD REMOVAL EFFICIENCY in EACH REACTOR



รูปที่ 4.9 แสดงการเปรียบเทียบประสิทธิภาพการกำจัดซีโอดีของบ่อเติมอากาศแต่ละใบ



#### 4.1.5 การประเมินพารามิเตอร์জনพลศาสตร์

จากผลการทดลองดังกล่าวข้างต้น สามารถสรุปเป็นข้อมูลเฉลี่ยในช่วงสภาวะคงที่ แสดงในตารางที่ 4.1 เพื่อนำไปประเมินค่าพารามิเตอร์জনพลศาสตร์ที่จำเป็นในการออกแบบต่อไป ดังนี้

ตารางที่ 4.1 สรุปข้อมูลเฉลี่ยในช่วงสภาวะคงที่ในบ่อเติมอากาศที่ระยะเวลาพักน้ำต่างๆ

	ชีโอดีทั้งหมด (มก./ล)	ชีโอดีกรอง (มก./ล)	ตะกอนแขวนลอย (มก./ล)
น้ำเสีย	1061	836	94
บ่อเติมอากาศบที่ 1 (ระยะเวลาพักน้ำ 3 วัน)	522	98	621
บ่อเติมอากาศบที่ 2 (ระยะเวลาพักน้ำ 5 วัน)	467	73	571
บ่อเติมอากาศบที่ 3 (ระยะเวลาพักน้ำ 7 วัน)	460	67	558
บ่อเติมอากาศบที่ 4 (ระยะเวลาพักน้ำ 9 วัน)	418	58	512
บ่อเติมอากาศบที่ 5 (ระยะเวลาพักน้ำ 11 วัน)	382	54	477



ค่าพารามิเตอร์จลนพลศาสตร์ ซึ่งได้แก่ ค่า  $\mu_m$  ,  $k_s$  ,  $\theta$  และ  $b$  สามารถหาได้จากข้อมูลที่ทำการทดลองได้ตามตารางที่ 4.1 นำมาประเมินพารามิเตอร์จลนพลศาสตร์โดยวิธีกราฟได้ดังต่อไปนี้

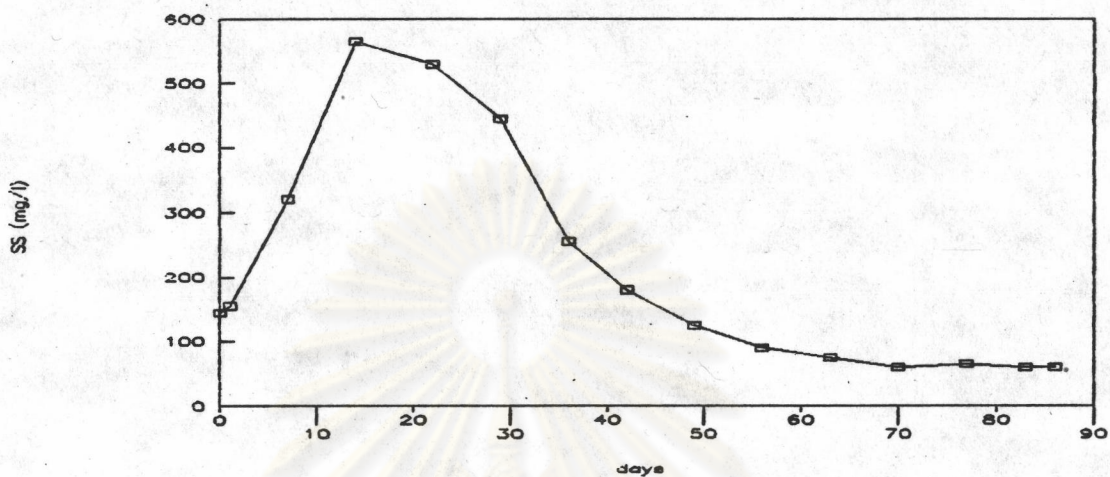
#### 4.1.5.1 การหาค่า $f$ และ $f'$

ค่า  $f$  คือ อัตราส่วนของตะกอนเนื้อต่อตะกอนแขวนลอยของน้ำเสีย ซึ่งหาได้จากการทดลองแบบทีละเท (Batch) ดังรูปที่ 4.10 (ข้อมูลแสดงการเปลี่ยนแปลงของปริมาณตะกอนแขวนลอย ของการทดลองเพื่อหาค่า  $f$  แสดงในตาราง ก.12 ในภาคผนวก ก.)

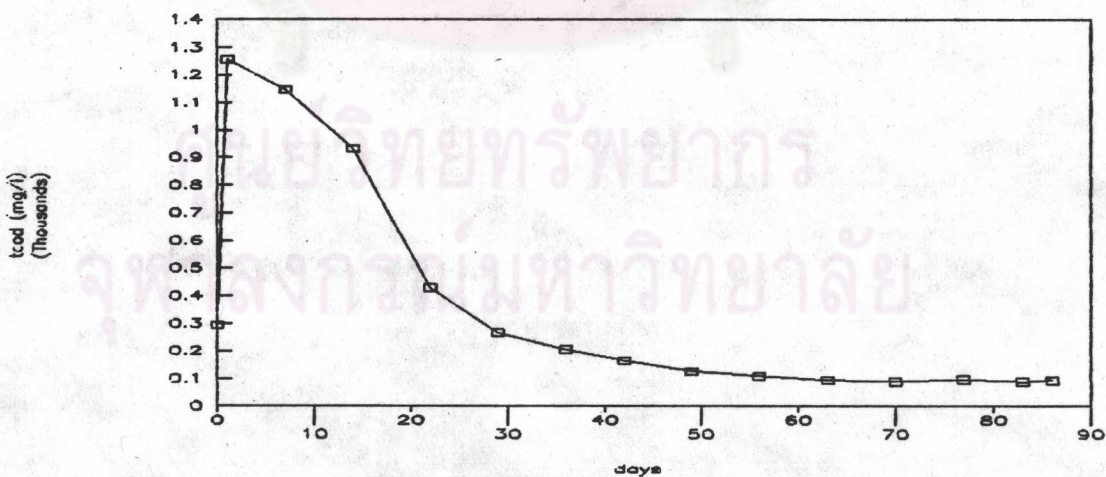
ค่า  $f'$  คือ อัตราส่วนของค่าซีโอดีของตะกอนเนื้อต่อค่าซีโอดีของตะกอนแขวนลอยของน้ำเสีย ซึ่งหาได้จากการทดลองแบบทีละเท (Batch) ดังรูปที่ 4.11 (ข้อมูลแสดงการเปลี่ยนแปลงของปริมาณซีโอดี ของการทดลองเพื่อหาค่า  $f'$  แสดงในตาราง ก.12 ในภาคผนวก ก.) ซึ่งจากรูปที่ 4.10 และ 4.11 คำนวณหาค่า  $f$  และ  $f'$  ได้เท่ากับ 0.41 และ 0.32 ตามลำดับ

ศูนย์วิทยทรัพยากร  
จุฬาลงกรณ์มหาวิทยาลัย



DETERMINATION OF  $f$ 

รูปที่ 4.10 แสดงการเปลี่ยนแปลงของปริมาณตะกอนแขวนลอยในการทดลองหาค่า  $f$  ของน้ำเสียที่ใช้ทำการทดลอง

DETERMINATION OF  $f'$ 

รูปที่ 4.11 แสดงการเปลี่ยนแปลงของปริมาณซีโอดีทั้งหมดในการทดลองหาค่า  $f'$  ของน้ำเสียที่ใช้ทำการทดลอง



4.1.5.2 การหาค่าชีโอดีที่ไม่ย่อยสลาย ( $C_i$ )

จากตารางที่ 4.1 นำค่าที่ได้จากการทดลองมา คำนวณหาค่าอัตราการกำจัดสารอาหารจำเพาะ ( $q'$ ) ของแบคทีเรียในบ่อเติมอากาศแต่ละใบ ตาม ตารางที่ 4.2 ดังนี้

ตารางที่ 4.2 แสดงการหาอัตราการกำจัดสารอาหารจำเพาะ ( $q'$ )

$T$ (Days)	$T_o$ (mg/l)	$C_o$ (mg/l)	$Z_o$ (mg/l)	$C$ (mg/l)	$F$ (l/day)	$V$ (l)	$M$ (mg/l)	$q'$
3	1061	836	94	98	5	15	621	0.42
5	1061	836	94	73	5	25	571	0.26
7	1061	836	94	67	5	35	558	0.19
9	1061	836	94	58	5	45	512	0.16
11	1061	836	94	54	5	55	477	0.14

โดยที่  $T$  = ระยะเวลาพักน้ำ(วัน)

$T_o$  = ค่าชีโอดีทั้งหมดของน้ำเสีย (มก./ล)

$C_o$  = ค่าชีโอดีกรองของน้ำเสีย (มก./ล)

$C$  = ค่าชีโอดีกรองของน้ำในบ่อเติมอากาศแต่ละใบ (มก./ล)

$F$  = ค่าอัตราการป้อนน้ำเสีย (ลิตร/วัน)

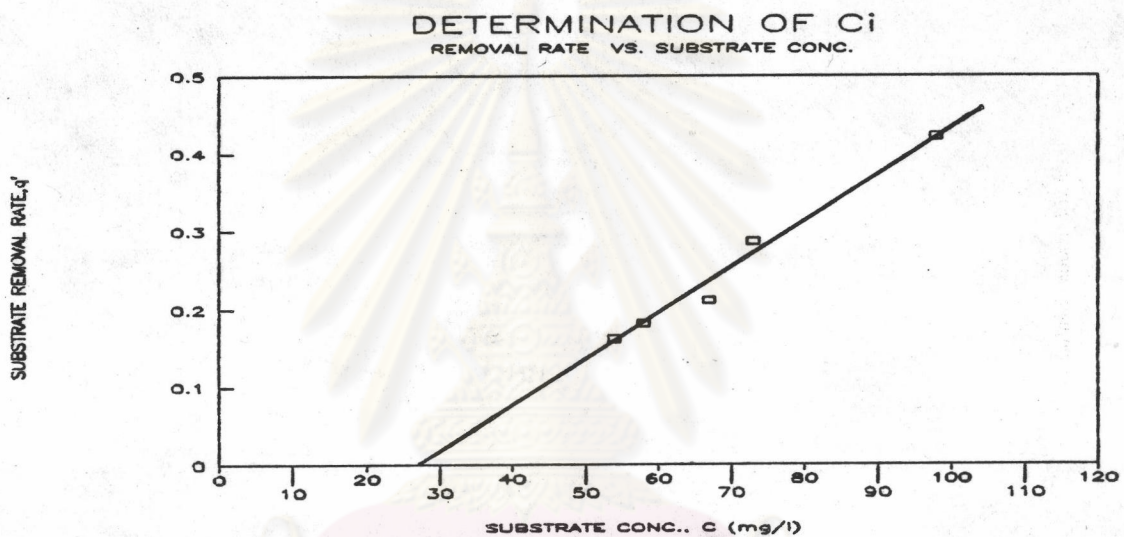
$V$  = ปริมาตรของบ่อเติมอากาศ (ลิตร)

$M$  = ความเข้มข้นของตะกอนแขวนลอย (มก./ล)

(รายละเอียดตัวอย่างการคำนวณค่า  $q'$  ในภาคผนวก ข.)



จากตารางที่ 4.2 ค่า  $q'$  และ  $C$  มาหาความสัมพันธ์ได้ดังรูปที่ 4.12 ซึ่งจุดตัดบนแกนนอน แสดงค่า ซีโอดีของสารที่ไม่สามารถย่อยสลายได้ ( $C_i$ ) ซึ่งละลายอยู่ในน้ำเสีย ค่า  $C_i$  ที่ได้จากรูปที่ 4.12 มีค่าเท่ากับ 27 มก./ล ซึ่งต้องนำไปหักออกจากค่าซีโอดีที่หาได้ เพื่อจะได้ทราบว่า านน้ำเสียและนบ่อเติมอากาศมีปริมาณสารอินทรีย์ ซึ่งเป็นสารอาหารที่แบคทีเรียย่อยสลายได้อยู่เท่าใด

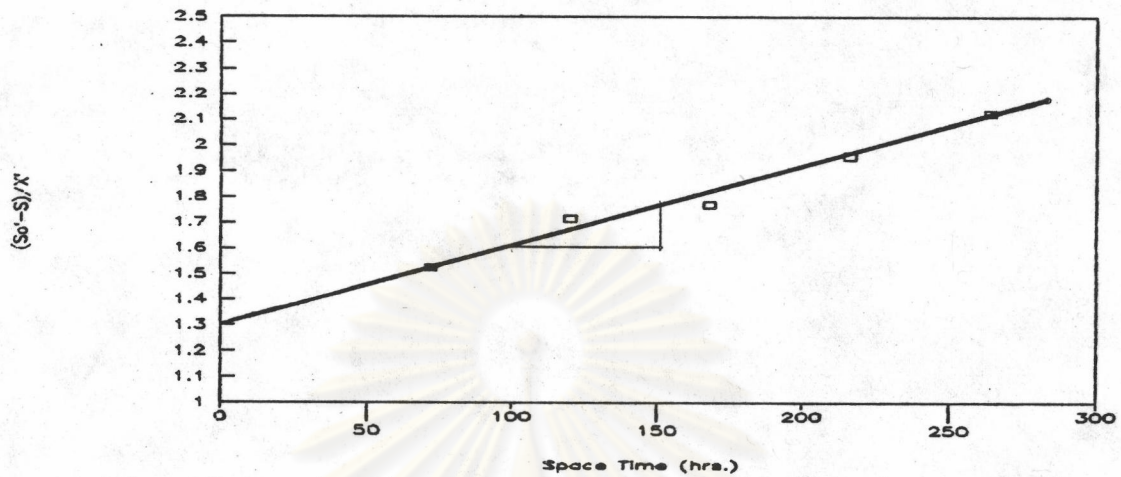


รูปที่ 4.12 แสดงการหาค่า  $C_i$  ที่ได้จากการทดลอง

#### 4.1.5.3 การหาค่า $Y_g$ และ $b$

เมื่อทราบค่า  $C_i, f$  และ  $f'$  แล้ว จึงนำค่าเหล่านี้ไปคำนวณค่าความเข้มข้นประสิทธิผลของสารละลายอาหารในน้ำเข้า ( $S_0'$ ) ความเข้มข้นประสิทธิผลของแบคทีเรีย ( $X'$ ) และความเข้มข้นของสารอาหารที่เหลืออยู่ในบ่อเติมอากาศ ( $S$ ) เพื่อนำไปหาความสัมพันธ์ระหว่าง  $(S_0' - S)/X'$  และ ระยะเวลาที่น้ำ ( $T$ ) ดังรูปที่ 4.13 (รายละเอียดตัวอย่างการคำนวณค่า  $(S_0' - S)/X'$  คูณภาคผนวก ข.)



DETERMINATION OF  $Y_g$  &  $b$ 

รูปที่ 4.13 แสดงการหาค่า  $Y_g$  และ ค่า  $b$  ที่ได้จากการทดลอง

รูปที่ 4.13 แสดงความสัมพันธ์ระหว่างค่า  $(S_0' - s)/X$  กับค่าระยะเวลาพักน้ำ จุดตัดบนแกนตั้งเป็นค่า  $1/Y_g$  ซึ่งจากรูปที่ 4.13 มีค่าเท่ากับ 1.30 ดังนั้นค่า  $Y_g$  จะเท่ากับ 0.7692 และได้ค่าความลาดเอียงเท่ากับ 0.003 ซึ่งเป็นค่าของ  $b/Y_g$  ดังนั้นค่า  $b$  จะเท่ากับ 0.0023 ชม<sup>-1</sup>

4.1.5.4 การหาค่า  $\alpha$ 

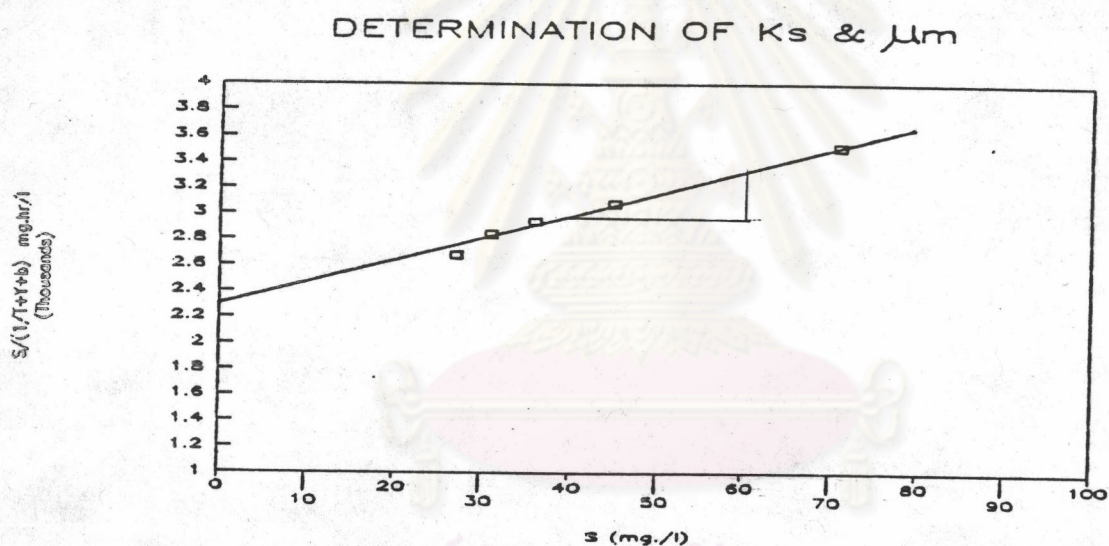
ค่าสัมประสิทธิ์อัตราการตายจาเพาะของแบคทีเรีย ( $\alpha$ )

ไม่สามารถหาได้ เนื่องจากข้อจำกัดด้านวิธีการและอุปกรณ์การหาความเข้มข้นของแบคทีเรียที่มีชีวิต ( $X_v$ ) ดังนั้นในการทดลองนี้จึงสมมุติค่า  $\alpha$  เท่ากับ 0.004 ชม.<sup>-1</sup> (Grady and Roper, 1974 กล่าวว่า ค่า  $\alpha$  ควรมีค่าน้อยกว่า 0.005 ชม.<sup>-1</sup> Benefield และคณะ, 1980 ทว่าการทดลองหา  $\alpha$  ของน้ำเสียจากบ้านเรือน มีค่าประมาณ 0.003 ชม.<sup>-1</sup> )



4.1.5.5 การหาค่า  $K_s$  และ  $\mu_m$ 

ค่า  $K_s$  และ  $\mu_m$  หาได้จากความสัมพันธ์ระหว่างปริมาณสารอาหารละลาย (S) กับค่า  $S/(1/T+\alpha+b)$  ดังรูปที่ 4.14 (รายละเอียดตัวอย่างการคำนวณค่า  $S/(1/T+\alpha+b)$  ดูในภาคผนวก ข.) จากรูปหาค่าความลาดเอียงของเส้นกราฟเท่ากับ 17.05 ซึ่งเป็นค่าของ  $1/\mu_m$  ดังนั้นค่า  $\mu_m$  จึงมีค่าเท่ากับ  $0.059 \text{ ชม}^{-1}$  และจุดตัดบนแกนตั้งเป็นค่าของ  $K_s/\mu_m$  ซึ่งมีค่าเท่ากับ 2300 ดังนั้นค่า  $K_s$  จะมีค่าเท่ากับ  $135.70 \text{ มก./ล}$



รูปที่ 4.14 แสดงการหาค่า  $K_s$  และค่า  $\mu_m$  ที่ได้จากการทดลอง



#### 4.2 การเปรียบเทียบผลการทํานายของระบบบ่อเติมอากาศแบบอนุกรมในการบำบัดน้ำเสียจริง กับผลที่ได้จากการทํานายด้วยพารามิเตอร์จลนพลศาสตร์

การบำบัดน้ำเสียจากนิคมอุตสาหกรรม บางปู ด้วยระบบบ่อเติมอากาศแบบผสมอย่างสมบูรณ์แบบอนุกรม 3 บ่อ โดยบ่อเติมอากาศใบแรก มีปริมาตรเท่ากับ 54 ลิตร บ่อเติมอากาศใบที่สองและใบที่สาม มีปริมาตรบ่อละ 18 ลิตร บ่อน้ำเสียเข้าสู่ระบบที่บ่อเติมอากาศใบแรกจุดเดียวด้วยอัตราการไหล 10 ลิตร/วัน ระยะเวลาที่น้ำรวมของระบบบ่อเติมอากาศนี้จึงเท่ากับ 9 วัน น้ำเสียที่นำมาทดลองในการทดลองชุดนี้ มีค่าซีโอดีทั้งหมดเฉลี่ยเท่ากับ 2007 มก./ล ค่าซีโอดีกรองเฉลี่ยเท่ากับ 1581 มก./ล ความเข้มข้นตะกอนแขวนลอยเฉลี่ยเท่ากับ 522 มก./ล และค่าพีเอชเฉลี่ยเท่ากับ 7.23

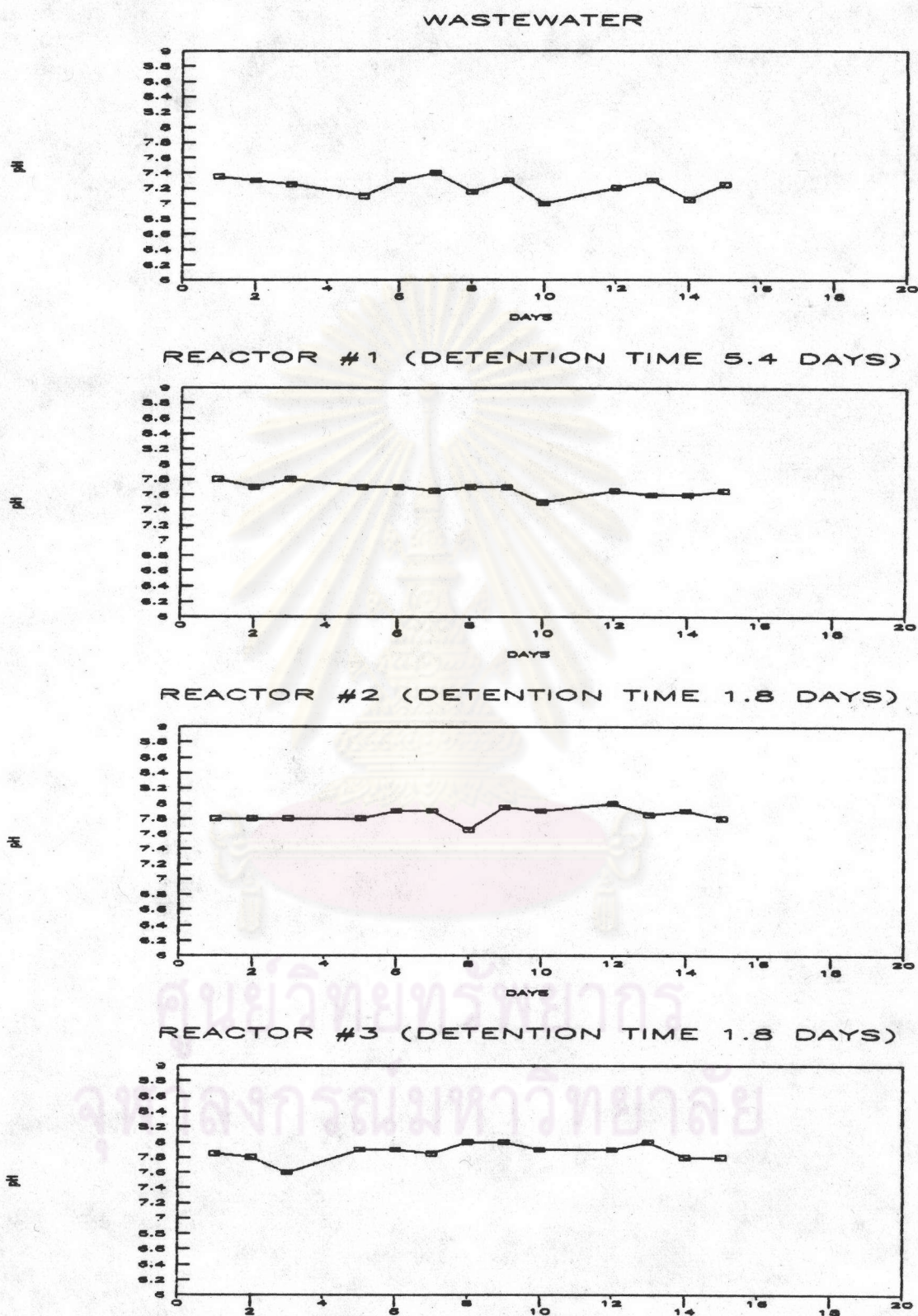
##### 4.2.1 การเริ่มต้นเลี้ยงจุลินทรีย์

การทดลองเริ่มต้นด้วยการนำหัวเชื้อตะกอน (seed) เติมลงไป ในบ่อเติมอากาศใบแรกด้วยปริมาณ 5.4 ลิตรแล้วจึงเติมน้ำเสียลงไปในบ่อเติมอากาศด้วยปริมาณ 5.4 ลิตร ทําการเติมน้ำเสียในปริมาณดังกล่าวทุกวันจนเต็มบ่อเติมอากาศใบแรก หลังจากนั้นจึงเริ่มทําการบ่อน้ำเสียแบบต่อเนื่องด้วยเครื่องสูบน้ำเสียแบบรีดสาย โดยมีอัตราการบ่อน้ำเสีย 10 ลิตรต่อวัน เก็บข้อมูลอย่างต่อเนื่อง รวมเป็นระยะเวลาทั้งสิ้น 57 วัน

##### 4.2.2 พีเอช

ค่าพีเอชของน้ำเสียที่เข้าสู่ระบบ วัดทันทีหลังจากที่เตรียมน้ำเสียเสร็จ ค่าพีเอชของน้ำเสียที่ทดลองจะอยู่ในช่วง 7.0-7.4 จึงไม่ต้องปรับค่าพีเอช ส่วนการวัดค่าพีเอชของน้ำในบ่อเติมอากาศแต่ละใบ จะวัดทันทีที่เก็บตัวอย่างน้ำมาจากบ่อเติมอากาศ



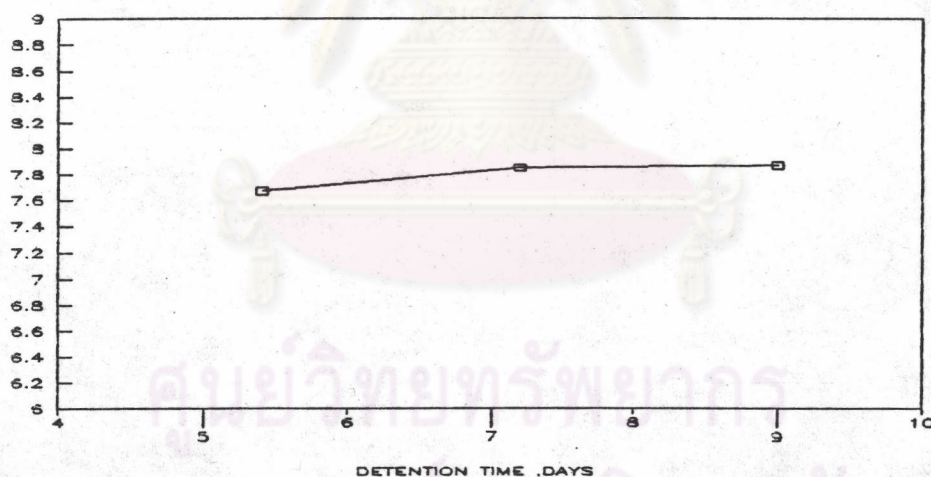


รูปที่ 4.15 แสดงการเปลี่ยนแปลงระดับพีเอชในช่วงสภาวะคงที่ของน้ำเสียที่ป้อนเข้าสู่ระบบ และانب่อเติมอากาศแต่ละใบ ในการทดลองชุดที่ 2



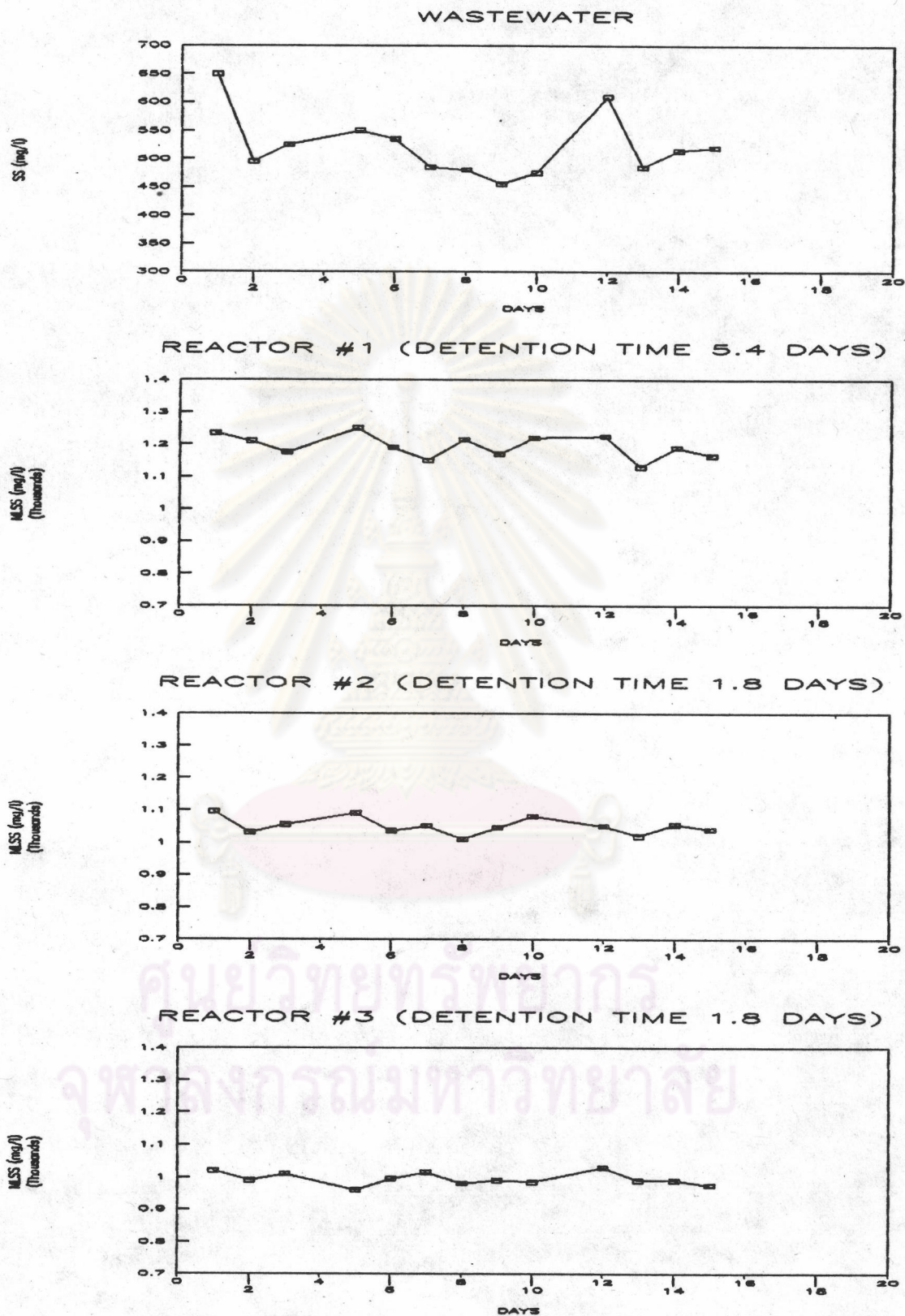
รูปที่ 4.15 แสดงระดับของพีเอชในน้ำเสียที่นำมาทำการทดลองและของน้ำในบ่อเติมอากาศแต่ละใบในช่วงสภาวะคงที่ และรูปที่ 4.16 แสดงการเปรียบเทียบค่าพีเอชเฉลี่ยในช่วงสภาวะคงที่ของน้ำในบ่อเติมอากาศอนุกรมแต่ละใบ พบว่าใบที่ 1 มีค่าพีเอชเฉลี่ยเท่ากับ 7.65 ค่าพีเอชเฉลี่ยของน้ำในบ่อเติมอากาศแบบอนุกรมใบที่ 2 มีค่าเท่ากับ 7.87 และค่าพีเอชเฉลี่ยของน้ำในบ่อเติมอากาศแบบอนุกรมใบที่ 3 มีค่าเท่ากับ 7.91 จะเห็นว่า ค่าเฉลี่ยของพีเอชในบ่อเติมอากาศแบบอนุกรมแต่ละใบจะเปลี่ยนแปลงเพิ่มขึ้นเล็กน้อย เนื่องจากในการทดลองได้ใช้โรบแตสเซียมาไฮโดรเจนฟอสเฟต ( $K_2HPO_4$ ) และยูเรียเป็นอาหารเสริมให้แก่แบคทีเรีย ซึ่งเป็นการเพิ่มบัฟเฟอร์ให้กับระบบที่ระดับพีเอชในบ่อเติมอากาศแบบอนุกรมแต่ละใบไม่เปลี่ยนแปลงมากนัก

AVERAGE pH in EACH REACTOR



รูปที่ 4.16 แสดงการเปรียบเทียบค่าพีเอชเฉลี่ยในช่วงสภาวะคงที่ของน้ำในบ่อเติมอากาศอนุกรมแต่ละใบ



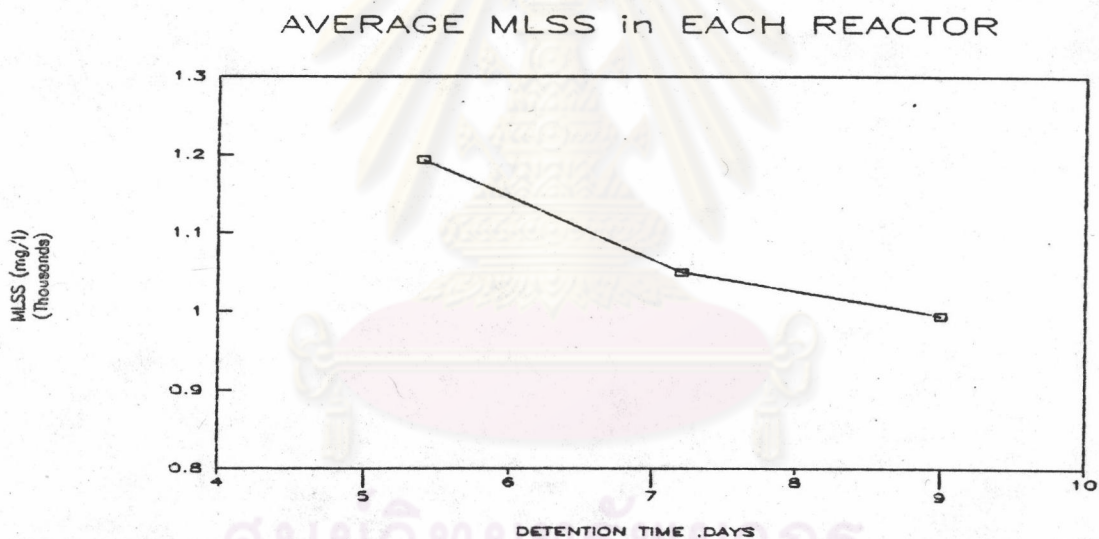


รูปที่ 4.17 แสดงการเปลี่ยนแปลงปริมาณตะกอนแขวนลอยในช่วงสภาวะคงที่ของน้ำเสียที่บ่อน  
เข้าสู่ระบบและบ่อเติมอากาศแต่ละใบ ในการทดลองชุดที่ 2



#### 4.2.3 ตะกอนแขวนลอย

รูปที่ 4.17 แสดงการเปลี่ยนแปลงความเข้มข้นของตะกอนแขวนลอยในน้ำเสียและในบ่อเติมอากาศแบบอนุกรมแต่ละใบในช่วงสภาวะคงที่ และรูปที่ 4.18 แสดงการเปรียบเทียบปริมาณตะกอนแขวนลอยเฉลี่ยในช่วงสภาวะคงที่ในบ่อเติมอากาศแบบอนุกรมแต่ละใบ พบว่าความเข้มข้นของตะกอนแขวนลอยในบ่อเติมอากาศแต่ละใบเมื่อระบบเข้าสู่สภาวะคงที่จะมีค่าความเข้มข้นเฉลี่ยเท่ากับ 1194 ,1050 และ 995 มก./ล ในบ่อเติมอากาศใบที่ 1, 2 และ 3 ตามลำดับ



รูปที่ 4.18 แสดงการเปรียบเทียบปริมาณตะกอนแขวนลอยเฉลี่ยในช่วงสภาวะคงที่ในบ่อเติมอากาศแบบอนุกรมแต่ละใบ

จากรูปที่ 4.18 พบว่าค่าความเข้มข้นของตะกอนแขวนลอย ในบ่อเติมอากาศใบที่ 1 (ระยะเวลาพักน้ำ 5.4 วัน)จะมีค่ามากที่สุด และจะลดลงตามลำดับในบ่อที่ 2 (ระยะเวลาพักน้ำ 1.8 วัน)และบ่อที่ 3 (ระยะเวลาพักน้ำ 1.8 วัน)เนื่องจากปริมาณสารอาหารที่เข้าสู่ระบบบ่อเติมอากาศ ส่วนที่เป็นสารอาหารที่ย่อยสลายง่ายส่วนใหญ่ถูกใช้เป็นอาหารของแบคทีเรียในบ่อ



เดิมอากาศใบแรก ดังนั้น สารอาหารที่เข้าสู่บ่อเดิมอากาศใบที่ 2 และ 3 จึงเหลือน้อยลงและ เป็นสารอาหารที่ย่อยสลายได้ยากตามลำดับ มีผลทำให้อัตราการเจริญเติบโตของแบคทีเรียในบ่อ ที่ 2 และ 3 ลดลงตามลำดับด้วย ความเข้มข้นของตะกอนแขวนลอยจึงมีค่าลดลงกันลงมา

#### 4.2.4 ชีโอดีและประสิทธิภาพการกำจัด

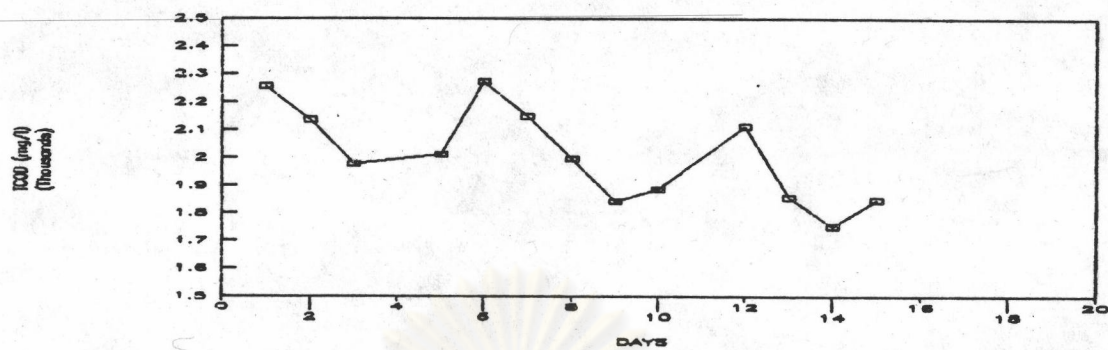
รูปที่ 4.19 แสดงการเปลี่ยนแปลงปริมาณชีโอดีทั้งหมดของน้ำเสีย ที่นำมาทดลองและของน้ำในบ่อเดิมอากาศแบบอนุกรมแต่ละใบ

รูปที่ 4.20 แสดงการเปลี่ยนแปลงปริมาณชีโอดีกรองของน้ำเสียที่นำมาทดลองและ ของน้ำในบ่อเดิมอากาศแบบอนุกรมแต่ละใบ

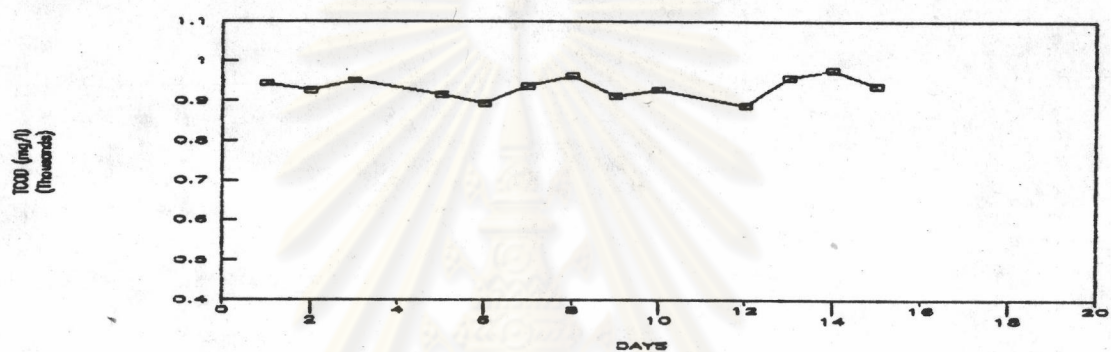
ผลการทดลองพบว่า เมื่อระบบเข้าสู่สภาวะคงที่ ค่าเฉลี่ยของชีโอดีของน้ำเสียที่นำมา ทดลองมีค่าชีโอดีทั้งหมดเฉลี่ยเท่ากับ 2007 มก./ล และ ค่าชีโอดีกรองเฉลี่ยเท่ากับ 1581 มก./ล ปริมาณชีโอดีทั้งหมดที่เหลืออยู่ในบ่อเดิมอากาศใบแรกเฉลี่ยเท่ากับ 934 มก./ล ปริมาณชีโอดีทั้งหมดที่เหลืออยู่ในบ่อเดิมอากาศใบที่ 2 เฉลี่ยเท่ากับ 713 มก./ล และปริมาณ ชีโอดีทั้งหมดที่เหลืออยู่ในบ่อเดิมอากาศใบที่ 3 เฉลี่ยเท่ากับ 500 มก./ล (ดังแสดงในรูปที่ 4.21) และปริมาณชีโอดีกรองที่เหลืออยู่ในบ่อเดิมอากาศใบแรกเฉลี่ยเท่ากับ 107 มก./ล ปริมาณชีโอดี กรองที่เหลืออยู่ในบ่อเดิมอากาศใบที่ 2 เฉลี่ยเท่ากับ 83 มก./ล และปริมาณชีโอดีกรองที่เหลือ อยู่ในบ่อเดิมอากาศใบที่ 3 เฉลี่ยเท่ากับ 59 มก./ล (ดังแสดงในรูปที่ 4.22) ซึ่งเมื่อนำมา คำนวณประสิทธิภาพการกำจัดชีโอดีของบ่อเดิมอากาศแต่ละใบได้ประสิทธิภาพการกำจัดชีโอดีของ บ่อเดิมอากาศใบที่ 1 เท่ากับ 93.23% ประสิทธิภาพการกำจัดชีโอดีของบ่อเดิมอากาศใบที่ 2 เท่ากับ 94.75% และประสิทธิภาพการกำจัดชีโอดีของบ่อเดิมอากาศใบที่สามเท่ากับ 96.27% (ดังแสดงในรูปที่ 4.23)



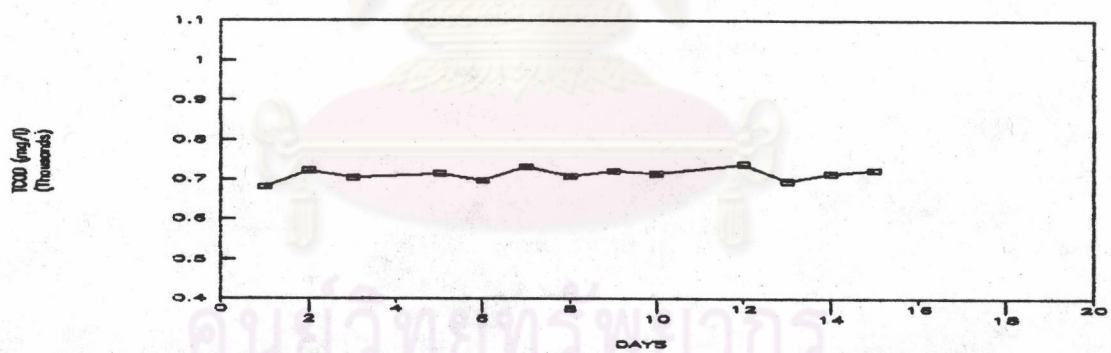
## WASTEWATER



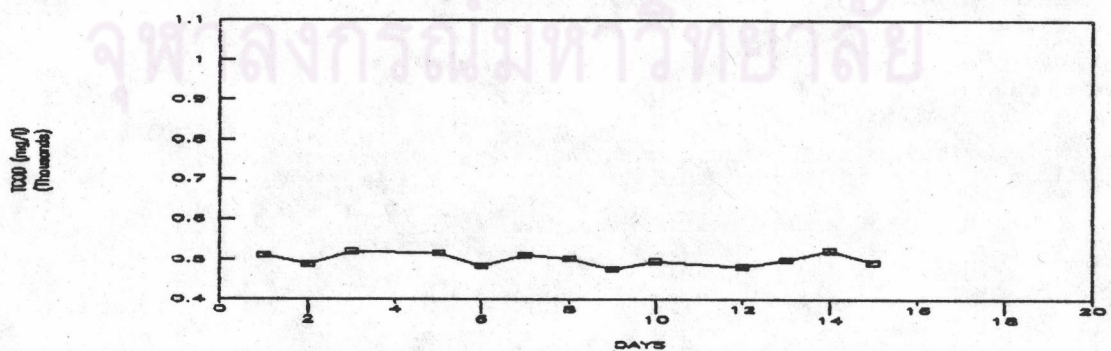
## REACTOR #1 (DETENTION TIME 5.4 DAYS)



## REACTOR #2 (DETENTION TIME 1.8 DAYS)



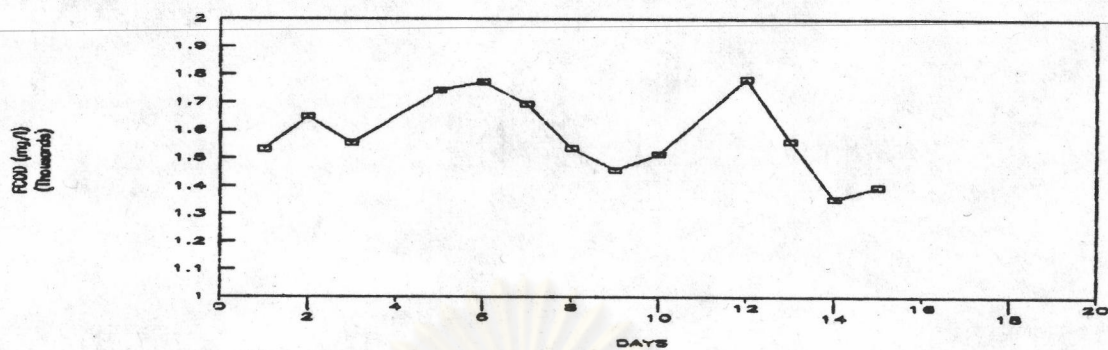
## REACTOR #3 (DETENTION TIME 1.8 DAYS)



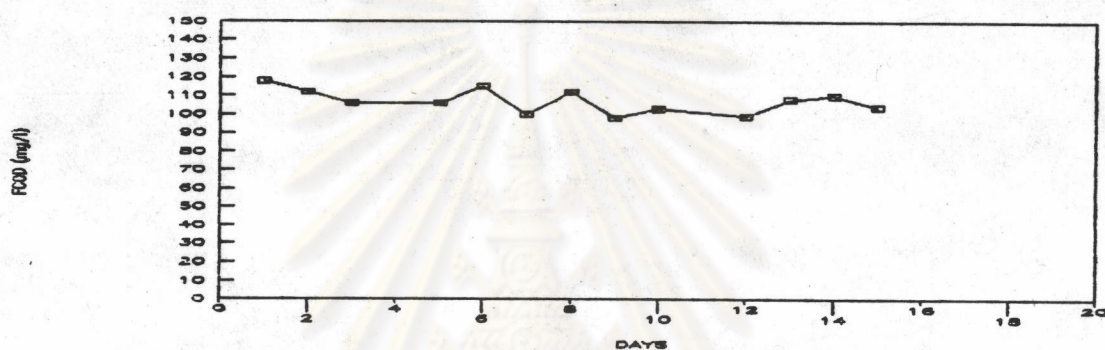
รูปที่ 4.19 แสดงการเปลี่ยนแปลงปริมาณซีโอดีทั้งหมดในช่วงสภาวะคงที่ของน้ำเสียที่บ่อน  
เข้าสู่ระบบและในบ่อเติมอากาศแต่ละใบ ในการทดลองชุดที่ 2



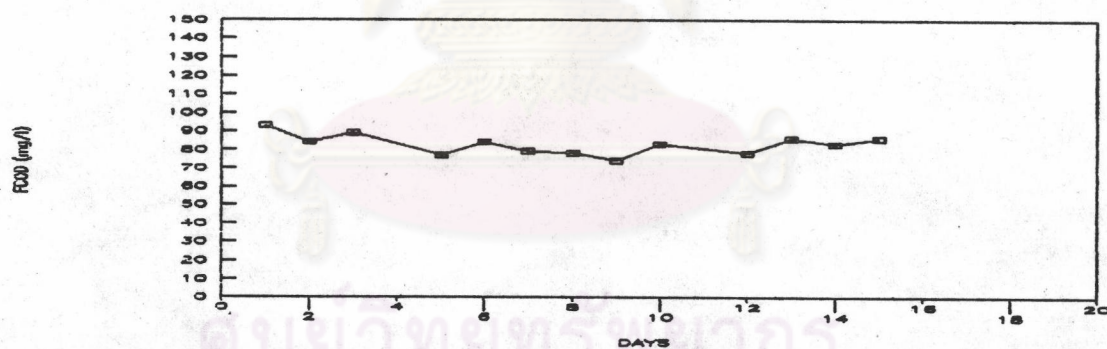
## WASTEWATER



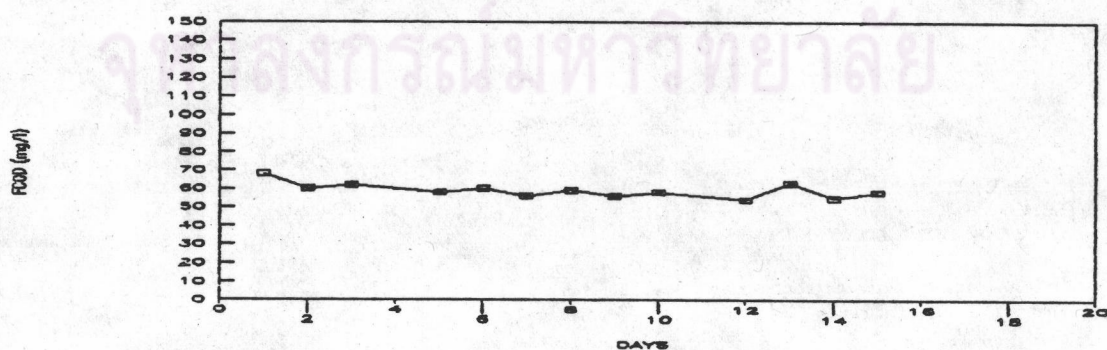
## REACTOR #1 (DETENTION TIME 5.4 DAYS)



## REACTOR #2 (DETENTION TIME 1.8 DAYS)



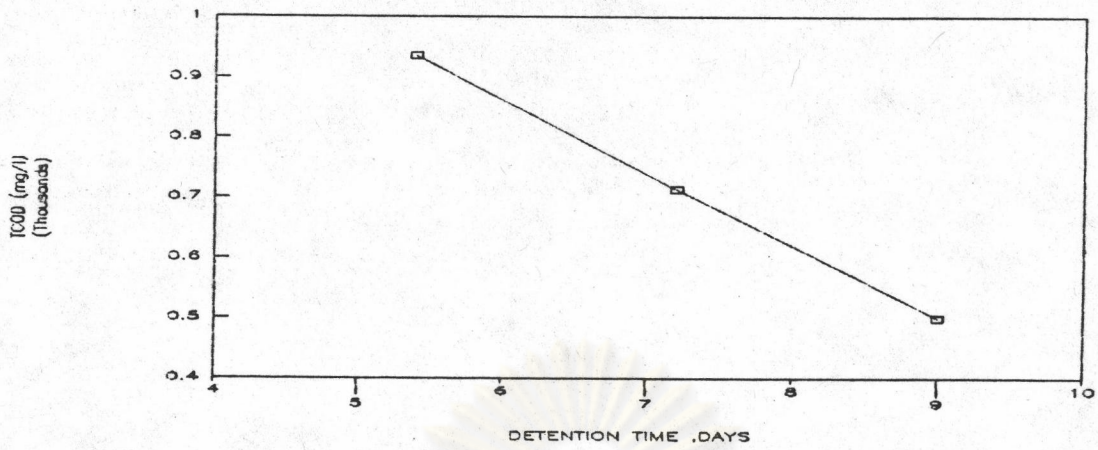
## REACTOR #3 (DETENTION TIME 1.8 DAYS)



รูปที่ 4.20 แสดงการเปลี่ยนแปลงปริมาณซีโอดีกรองในช่วงสภาวะคงที่ของน้ำเสียที่ป้อน  
เข้าสู่ระบบและในบ่อเติมอากาศแต่ละใบ ในการทดลองชุดที่ 2



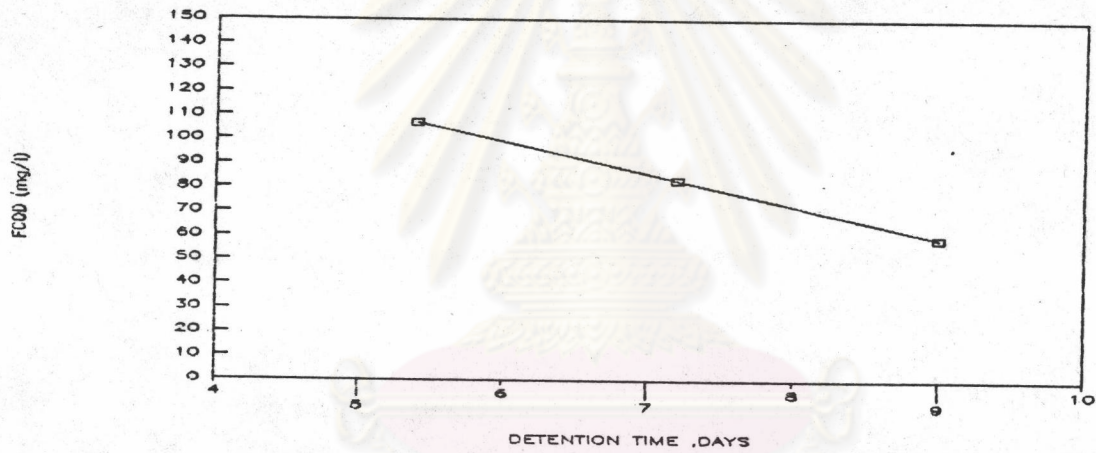
AVERAGE TCOD in EACH REACTOR



รูปที่ 4.21 แสดงการเปรียบเทียบปริมาณซีโอดีทั้งหมดเฉลี่ยในช่วงสภาวะคงที่

ในบ่อเติมอากาศแต่ละใบ ในการทดลองชุดที่ 2

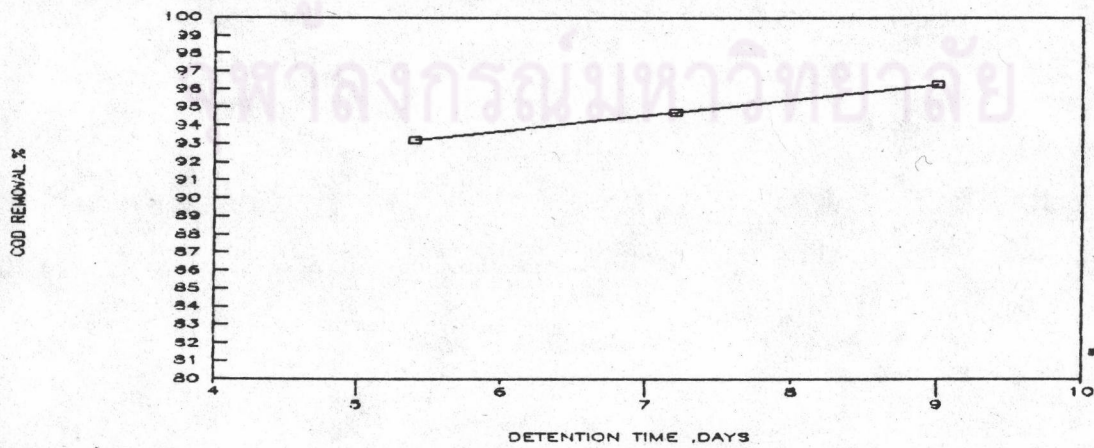
AVERAGE FCOD in EACH REACTOR



รูปที่ 4.22 แสดงการเปรียบเทียบปริมาณซีโอดีกรองเฉลี่ยในช่วงสภาวะคงที่

ในบ่อเติมอากาศแต่ละใบ ในการทดลองชุดที่ 2

COD REMOVAL EFFICIENCY in EACH REACTOR



รูปที่ 4.23 แสดงการเปรียบเทียบประสิทธิภาพการกำจัดซีโอดีของบ่อเติมอากาศแต่ละใบ



จากผลการทดลองพบว่าประสิทธิภาพการกำจัดซีโอดีเพิ่มขึ้นเล็กน้อยตามลำดับแสดงให้  
เห็นว่า สารละลายอาหารที่เข้ามาในระบบถูกย่อยสลายไปเกือบหมดในบ่อเติมอากาศใบที่ 1  
เนื่องจากระยะเวลาที่น้ำในบ่อเติมอากาศใบที่ 1 มีเวลานานพอเพียงที่แบคทีเรียจะย่อยสาร  
ละลายอาหารและเจริญเติบโตได้ทัน ดังนั้นบ่อเติมอากาศใบที่ 2 และ 3 จึงถูกใช้ในการกำจัด  
สารอาหารที่อยู่ในรูปของตะกอนแขวนลอยในน้ำเป็นส่วนใหญ่

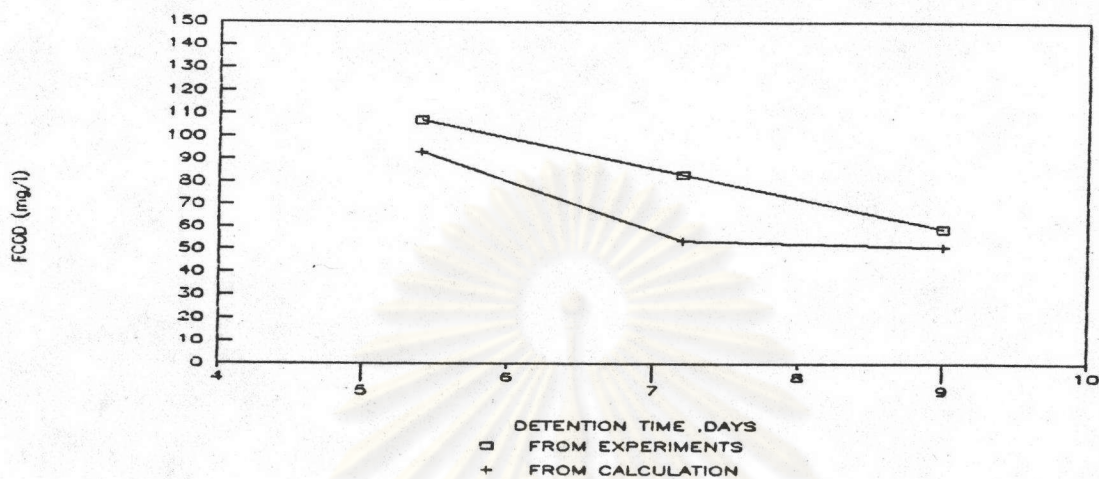
#### 4.2.5 การเปรียบเทียบระหว่างผลที่ได้จากการทดลองกับผลที่ได้จาก การทำนายด้วยพารามิเตอร์จลนพลศาสตร์

ผลการทำนายของระบบบ่อเติมอากาศแบบผสมอย่างสมบูรณ์แบบ  
อนุกรมที่ได้จากการทดลองบ่งชี้ว่าเสียจริง สามารถเปรียบเทียบกับผลที่ได้จากการคำนวณด้วย  
พารามิเตอร์จลนพลศาสตร์ ในรูปของสารอาหารที่เหลืออยู่และความเข้มข้นของตะกอนแขวนลอย  
ในบ่อเติมอากาศแต่ละใบ พบว่า ผลจากการทำนายด้วยพารามิเตอร์จลนพลศาสตร์ ปริมาณสาร  
อาหารที่เหลืออยู่ (ในรูปของซีโอดีกรอง) ในบ่อเติมอากาศใบแรกเท่ากับ 93 มก./ล ในบ่อเติม  
อากาศใบที่ 2 เท่ากับ 54 มก./ล และในบ่อเติมอากาศใบที่ 3 เท่ากับ 51 มก./ล ส่วนผล  
จากการทดลองพบว่าปริมาณสารอาหารที่เหลืออยู่ (ในรูปของซีโอดีกรอง) ในบ่อเติมอากาศใบแรก  
เฉลี่ยเท่ากับ 107 มก./ล ในบ่อเติมอากาศใบที่ 2 เฉลี่ยเท่ากับ 83 มก./ล และในบ่อเติม  
อากาศใบที่ 3 เฉลี่ยเท่ากับ 59 มก./ล การเปรียบเทียบปริมาณซีโอดีกรองที่เหลืออยู่ในบ่อ  
เติมอากาศแต่ละใบซึ่งได้จากการทำนายด้วยพารามิเตอร์จลนพลศาสตร์และจากการทดลองแสดง  
ในรูปที่ 4.24

จากรูปที่ 4.24 เมื่อเปรียบเทียบค่าซีโอดีกรองที่ได้จากการทดลองและจากการทำนาย  
พบว่า มีค่าแตกต่างกันไม่มาก และเมื่อเปรียบเทียบในเทอมของประสิทธิภาพการกำจัดซีโอดีใน  
แต่ละถัง จะได้ว่าประสิทธิภาพการกำจัดซีโอดีแสดงในรูปที่ 4.25

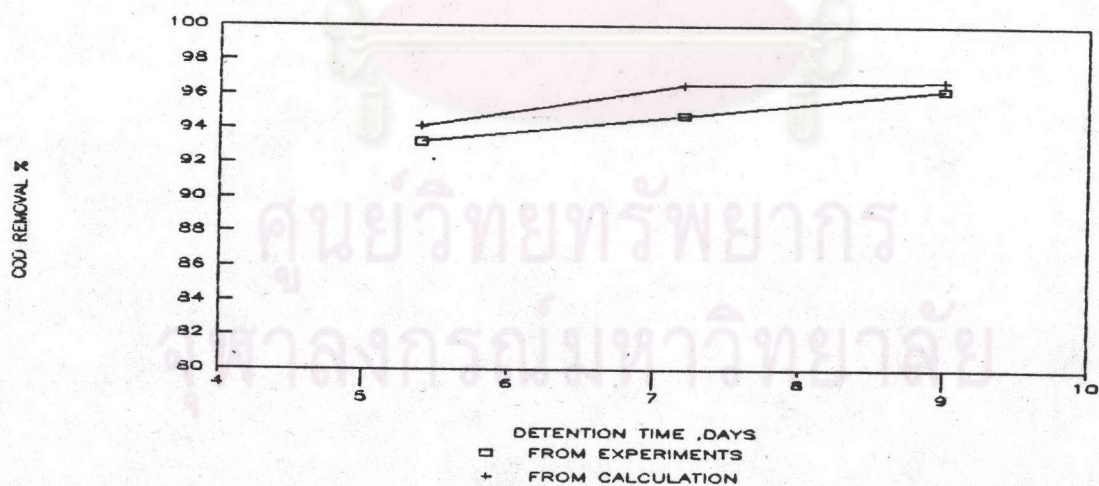


## COMPARISON OF FCOD in EACH REACTOR



รูปที่ 4.24 แสดงการเปรียบเทียบปริมาณซีโอดีกรองที่เหลืออยู่ในบ่อเติมอากาศจากการทดลอง และจากการทำนายด้วยพารามิเตอร์จลนพลศาสตร์

## COMPARISON OF COD REMOVAL EFFICIENCY



รูปที่ 4.25 แสดงการเปรียบเทียบประสิทธิภาพการกำจัดซีโอดีจากการทดลองและจากการทำนายด้วยพารามิเตอร์จลนพลศาสตร์ในบ่อเติมอากาศแต่ละใบ



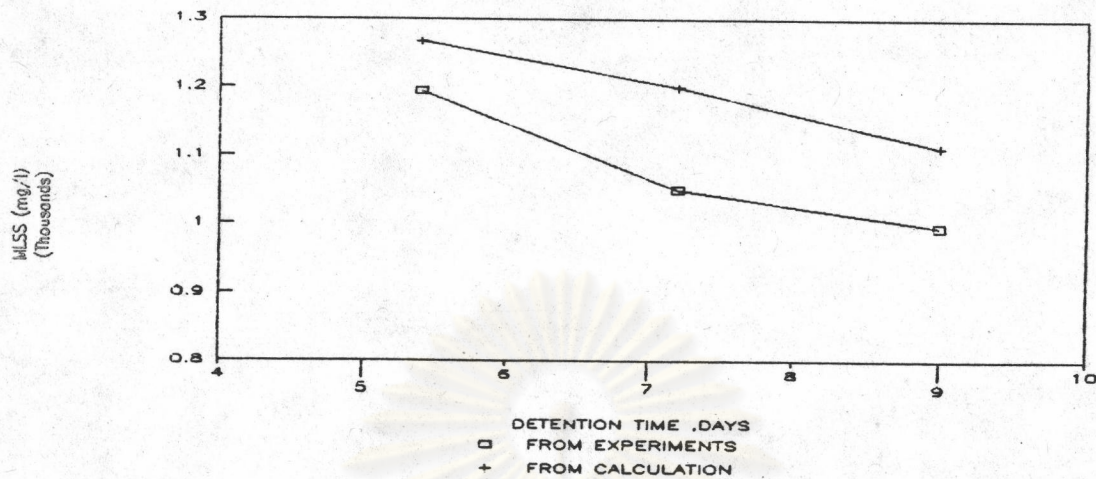
ค่าซีไอดีกรองที่ได้จากการทดลอง มีค่าสูงกว่าค่าที่ได้จากการคำนวณด้วยพารามิเตอร์ จลนพลศาสตร์เล็กน้อย ซึ่งค่าที่ได้จากการทำนายด้วยพารามิเตอร์จลนพลศาสตร์ มาจากสมการที่ คำนวณหาปริมาณสารอาหารละลาย (S) แล้วนำมารวมกับสารละลายเฉื่อย ( $C_i$ ) เป็นค่าซีไอดีกรอง ซึ่งค่า  $C_i$  นี้ได้ทำการปรับค่าโดยใช้ค่า  $C_i$  ที่หาได้จากการทดลองชุดที่ 1 คูณด้วยอัตราส่วนของ ซีไอดีกรองจากการทดลองชุดที่ 1 และชุดที่ 2 ค่า  $C_i$  ใหม่จะเท่ากับ 51 มก./ล อย่างไรก็ตาม แม้ว่าจะปรับแก้ค่า  $C_i$  ใหม่แล้วก็ตาม ค่าที่ได้จากการทำนายก็ยังต่ำกว่าค่าที่ได้จากการทดลองอยู่ ซึ่งอาจเนื่องมาจากน้ำเสียจากการทดลองชุดที่ 2 มีปริมาณสารละลายเฉื่อยสูงกว่าน้ำเสียที่ใช้ในการทดลองชุดที่ 1

การเปรียบเทียบปริมาณตะกอนแขวนลอยในบ่อเติมอากาศแต่ละใบที่ได้จากการทำนาย ด้วยพารามิเตอร์จลนพลศาสตร์และจากการทดลองแสดงในรูปที่ 4.26 พบว่าจากการทำนายด้วย พารามิเตอร์จลนพลศาสตร์ ปริมาณตะกอนแขวนลอยในบ่อเติมอากาศใบแรก มีค่าเท่ากับ 1267 มก./ล ในบ่อเติมอากาศใบที่ 2 มีค่าเท่ากับ 1200 มก./ล และในบ่อเติมอากาศใบที่ 3 มีค่า เท่ากับ 1112 มก./ล ส่วนผลจากการทดลองพบว่า ปริมาณตะกอนแขวนลอยในบ่อเติมอากาศใบ แรกมีค่าเฉลี่ยเท่ากับ 1194 มก./ล ในบ่อเติมอากาศใบที่ 2 มีค่าเฉลี่ยเท่ากับ 1050 มก./ล และในบ่อเติมอากาศใบที่ 3 มีค่าเฉลี่ยเท่ากับ 995 มก./ล (รายละเอียดแสดงการคำนวณผลที่ ทำนายด้วยพารามิเตอร์จลนพลศาสตร์ แสดงในภาคผนวก ข.)

ศูนย์วิจัยทรัพยากร  
จุฬาลงกรณ์มหาวิทยาลัย



## COMPARISON OF MLSS in EACH REACTOR



รูปที่ 4.26 แสดงการเปรียบเทียบปริมาณตะกอนแขวนลอยในบ่อเติมอากาศจากการทดลอง และจากการทำนายด้วยพารามิเตอร์จลนพลศาสตร์

จากรูปที่ 4.26 พบว่าความเข้มข้นของตะกอนแขวนลอยในบ่อเติมอากาศที่ 1, 2 และ 3 ที่หาได้จากการทดลอง มีค่าต่ำกว่าค่าที่ได้จากการคำนวณด้วยพารามิเตอร์จลนพลศาสตร์ โดยมีความแตกต่างกันในแต่ละบ่อเท่ากับ 5.76, 12.50 และ 10.52% ตามลำดับ ซึ่งเห็นว่ามีค่าใกล้เคียงกัน แต่สาเหตุที่ความเข้มข้นของตะกอนแขวนลอยที่ได้จากการทดลองมีค่าต่ำกว่า อาจเนื่องจากปริมาณตะกอนแขวนลอยในน้ำเสียเข้า ( $M_0$ ) ที่ใช้ในการทดลองชุดที่ 2 มีปริมาณมากกว่าในการทดลองชุดที่ 1 (เทียบสัดส่วนต่อปริมาณชีโอดีทั้งหมดในน้ำเสียเข้า) ดังนั้น ปริมาณตะกอนเหลือ ( $Z_1$ ) ในน้ำเสียเข้าของการทดลองชุดที่ 2 จากการคำนวณจึงมีค่าสูงด้วย ซึ่งเมื่อนำค่า  $Z_1$  นี้มารวมกับความเข้มข้นของแบคทีเรียที่คำนวณได้ จะทำให้ความเข้มข้นของตะกอนแขวนลอยจากการคำนวณมีค่าสูง ซึ่งในน้ำเสียที่ใช้ในการทดลองชุดที่ 2 อาจมีปริมาณตะกอนเหลือต่ำกว่าค่าที่คำนวณได้ ทำให้ผลการทำนายสูงกว่าผลจากการทดลองเล็กน้อย



#### 4.3 การเปรียบเทียบประสิทธิภาพของระบบบ่อเติมอากาศแบบอนุกรมกับระบบบ่อเติมอากาศแบบเดี่ยวที่มีระยะเวลาเวลากักน้ำเท่ากัน

การทดลองชุดนี้เป็นการทดลองบำบัดน้ำเสียของระบบบ่อเติมอากาศแบบเดี่ยวที่มีระยะเวลาเวลากักน้ำเท่ากับ 9 วัน น้ำเสียที่นำมาทดลองในการทดลองชุดนี้ใช้น้ำเสียจริงโดยเป็นน้ำเสียชุดเดียวกันกับที่ใช้ทดลองระบบบ่อเติมอากาศแบบอนุกรม

##### 4.3.1 การเริ่มต้นเลี้ยงจุลชีพ

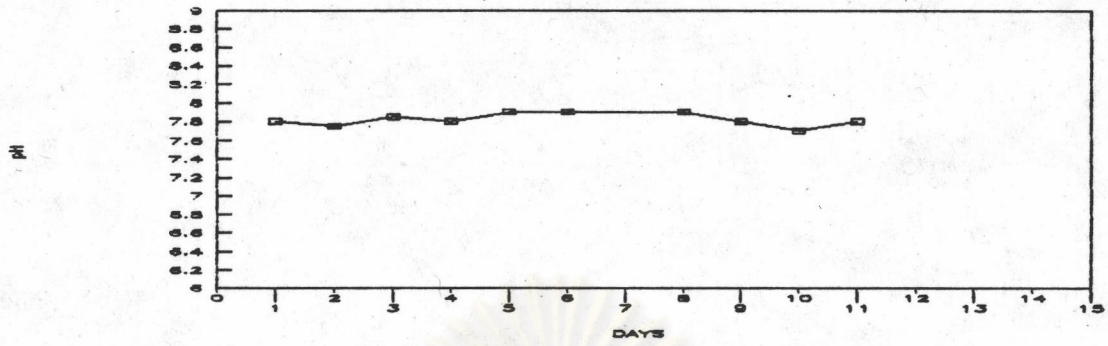
การทดลองเริ่มต้นด้วยการนำหัวเชื้อตะกอน (seed) เติมลงไปบ่อเติมอากาศที่มีปริมาตร 45 ลิตร ด้วยปริมาณ 4.5 ลิตร แล้วจึงเติมน้ำเสียลงไปปริมาณ 4.5 ลิตร เติมน้ำเสียในปริมาณดังกล่าวทุกวันจนเต็มบ่อเติมอากาศ หลังจากนั้นจึงเริ่มบ่อน้ำเสียแบบต่อเนื่องด้วยเครื่องสูบน้ำเสียแบบรีดสาย อัตราการบ่อน้ำเสีย 5 ลิตรต่อวัน แล้วเก็บข้อมูลอย่างต่อเนื่อง รวมเป็นระยะเวลาทั้งสิ้น 50 วัน ผลการทดลองได้แสดงในรูปที่ 4.27

##### 4.3.2 พีเอช

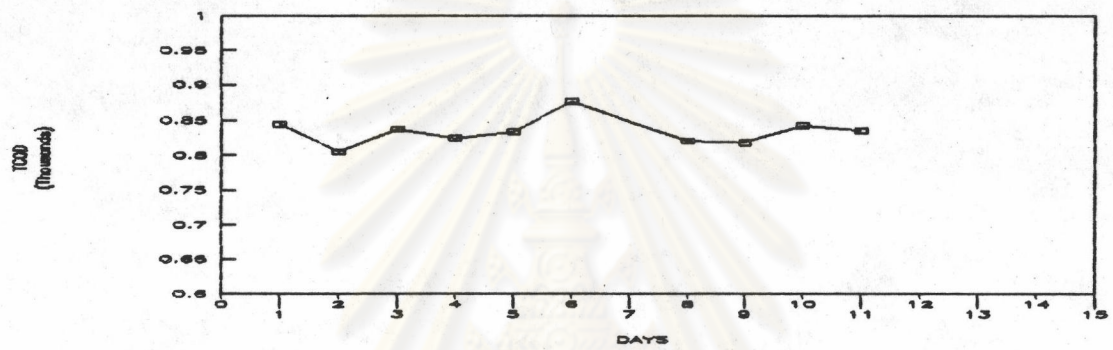
ค่าพีเอชของน้ำในบ่อเติมอากาศมีค่าพีเอชเฉลี่ยในช่วงสภาวะคงที่ เท่ากับ 7.82 ซึ่งระดับพีเอชในช่วงนี้เป็นระดับพีเอชซึ่งแบคทีเรียยังเจริญเติบโตได้ดี จึงไม่มีผลต่อการทำงานของแบคทีเรีย



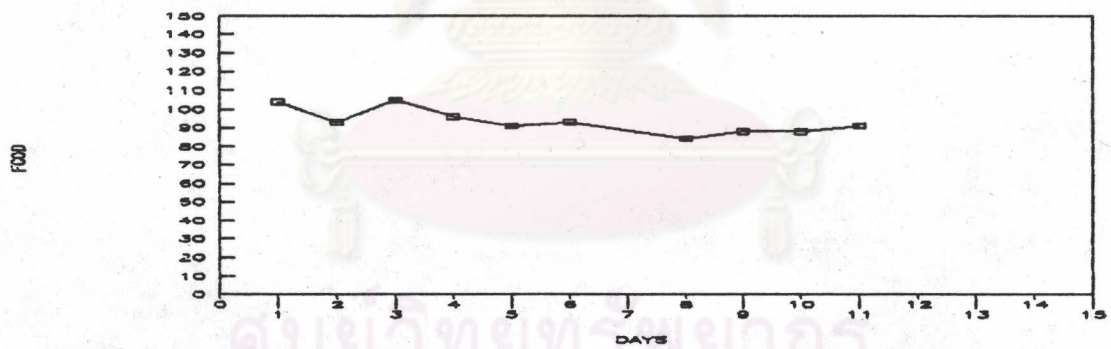
DETENTION TIME 9 DAYS



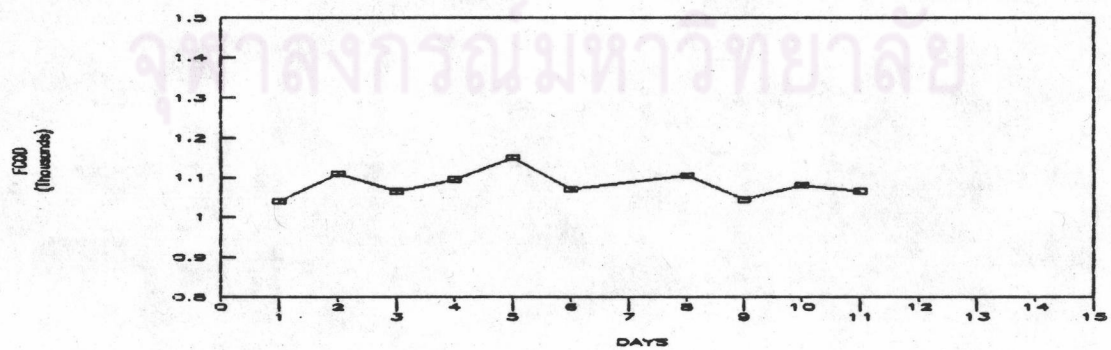
DETENTION TIME 9 DAYS



DETENTION TIME 9 DAYS



DETENTION TIME 9 DAYS



รูปที่ 4.21 แสดงข้อมูลการทดลองที่สภาวะคงที่ของบ่อเติมอากาศแบบผสมอย่างสมบูรณ์แบบเดี่ยว  
ที่มีระยะเวลาพักน้ำ 9 วัน ในการทดลองชุดที่ 3



#### 4.3.3 ตะกอนแขวนลอย

เมื่อระบบเข้าสู่สภาวะคงที่ความเข้มข้นของตะกอนแขวนลอยในบ่อเติมอากาศแบบเตี้ยนี้ จะมีค่าความเข้มข้นของตะกอนแขวนลอยเฉลี่ยเท่ากับ 1,083 มก./ล ซึ่งเมื่อเปรียบเทียบกับระบบบ่อเติมอากาศแบบอนุกรมมาบที่3 พบว่า ความเข้มข้นของตะกอนแขวนลอยในบ่อเติมอากาศแบบเตี้ยจะสูงกว่าในระบบบ่อเติมอากาศแบบอนุกรม ทั้งนี้เนื่องจากในบ่อเติมอากาศแบบอนุกรมการย่อยสลายสารอาหารส่วนใหญ่จะ เกิดในบ่อเติมอากาศบแรก ดังนั้นในบ่อเติมอากาศบที่ 3 จึงมีสารอาหารเหลือน้อยและเป็นส่วนที่ย่อยสลายยากเป็นส่วนใหญ่ ทำให้อัตราการเจริญเติบโตของแบคทีเรียลดลง มีผลให้ความเข้มข้นของตะกอนแขวนลอยลดลงด้วย ซึ่งจะแตกต่างกับบ่อเติมอากาศแบบเตี้ย ที่จะมีการไหลเข้าของสารอาหารอยู่ตลอดเวลาทำให้แบคทีเรียได้รับสารอาหารใหม่ที่มีส่วนที่ย่อยสลายง่ายอยู่ตลอดเวลา แบคทีเรียในบ่อเติมอากาศแบบเตี้ยจึงมีอัตราการเจริญเติบโตที่สูงกว่า ความเข้มข้นของตะกอนแขวนลอยจึงมากกว่าในบ่อเติมอากาศแบบอนุกรม

#### 4.3.4 ชีโอดีและประสิทธิภาพการกำจัด

ผลการทดลองพบว่า เมื่อระบบเข้าสู่สภาวะคงที่ ค่าเฉลี่ยของชีโอดีของน้ำในบ่อเติมอากาศมีค่าเท่ากับ 93 มก./ล ในรูปของชีโอดีกรอง ซึ่งเมื่อนำมาคำนวณประสิทธิภาพการกำจัดชีโอดีของบ่อเติมอากาศได้เท่ากับ 94.11% ในรูปของชีโอดีกรอง

เมื่อเปรียบเทียบกับระบบบ่อเติมอากาศแบบอนุกรมพบว่า น้ำที่ผ่านระบบบ่อเติมอากาศแบบอนุกรม มีประสิทธิภาพการกำจัดชีโอดีในรูปของชีโอดีเท่ากับ 96.27% แสดงให้เห็นว่าระบบบ่อเติมอากาศแบบอนุกรมมีประสิทธิภาพสูงกว่าบ่อเติมอากาศแบบเตี้ย แต่ประสิทธิภาพไม่แตกต่างกันมากนัก